

UDC 621.453/.457.
032;
621.694

航空宇宙技術研究所資料

TECHNICAL MEMORANDUM OF NATIONAL AEROSPACE LABORATORY

TM-313

ロケット・エンジン高空性能試験用
ディフューザの設計計算

宮島 博・阿部 登・木皿且人

1976年9月

航空宇宙技術研究所
NATIONAL AEROSPACE LABORATORY

ロケット・エンジン高空性能試験用 デュフィーザの設計計算*

宮島 博**阿部 登**木皿且人**

Design Calculation of Diffusers for Rocket Engine Altitude Simulation

By Hiroshi MIYAJIMA, Noboru ABE, and Katsuto KISARA

This paper describes two methods directly applicable to zero-secondary-flow ejector design from the calculation methods employed by the authors during the experimental studies on ejectors for rocket engine altitude simulation. One method is that of predicting the starting pressure ratio of a second throat diffuser, developed by German et al. This method is computerized and a parametric study was conducted. The other concerns a better method of predicting the capsule pressure ratio based on the angular reattachment criteria of ONERA group. New angular reattachment criteria for large area ratio nozzles are correlated using available experimental data. Calculated results are shown to be in satisfactory agreement with the NAL data.

Program lists are given in the appendix.

概要

筆者らが、ロケットエンジン高空性能試験用エゼクタの実験的研究をおこなった過程で使用した計算法のうち、簡単で設計に直接使用できるものについて述べた。スタート圧力比についてはGermanらの方法をプログラム化し、各種パラメタの効果を計算するとともに、いくつかの問題点を示した。低圧室圧力比に関しては、ONERAのグループによって提案された再付着角度の考え方をもとにして新しい再付着角度相関式を求めた。この相関式を用いる低圧室圧力の計算法について述べ、この方法の採用によって低圧室圧力の予測の改良がなされることを示した。

プログラムリストを付録に示す。

1. まえがき

ロケット・エンジンの高空性能のシミュレーションを地上でおこなうための低圧環境は、エンジンの噴流と超音速デュフィーザを組み合せた零2次流エゼクタと必要に応じ

てその背圧をさげるための排気システムによって得られる。零2次流エゼクタ用のデュフィーザの設計に当って最も重要なことは、与えられたデュフィーザ背圧に対して超音速デュフィーザとして作動する最小の燃焼室圧力、すなわち、最小スタート圧力比(燃焼室圧力/背圧)の要求を満足させることである。また、試験の目的によっては、シミュレーション高度の要求も満足させなければならない。

超音速デュフィーザ内の流れは、複雑なショック・システムや大きな逆圧力勾配等のため、軸対称流れに関する厳密な解析は現状では困難である。また、零2次流エゼクタの場合には、風洞の場合とは異なり、ノズル出口面における急激な形状変化とフリージェットの存在によって流れはさらに複雑になる。しかしながら、スタート圧力比の推定にはGermanら^{1, 2)}の方法がノズルとデュフィーザの相対位置が適当であれば、設計に使用可能であることが示されている³⁾。一方、シミュレーション高度、または、低圧室圧力の推定には前報³⁾ではデュフィーザ壁面までノズルから等エントロビ膨脹したときの静圧、または、Korst⁴⁾の基底圧理論による基底圧を用いたが、いずれも実験と満足な一致を示さなかった。従って、低圧室圧力のより良い

* 昭和51年7月26日 受付

** 角田支所

推定方法が望まれる。

この資料は、現在筆者らがロケットエンジン高空性能試験用のディフューザの設計に使用可能であると考えている計算法について述べたものである。スタート圧力比に関しては前述の German らの方法をプログラム化し、各種パラメタの効果を計算するとともに、いくつかの問題点を示した。また、低圧室圧力に関しては、ONERA のグループによって提案された再付着角度の考え方⁵⁾に基づいて、文献の実験データをもとに新しい再付着角度相関式を求めた。この相関式を用いる低圧室圧力の計算法について述べ、この方法の採用によって低圧室圧力の予測の改良がなされることを示した。

ここで示す方法はディフューザに対する要求性能がそれほどきびしくない場合には有効であろうが、性能および寸法の要求がきびしい場合にはモデル試験等によって設計性能を確かめる必要があろう。

使 用 記 号

<i>A</i>	面積
<i>C_f</i>	まさつ係数
<i>C</i>	Crocco のパラメタ $u/\sqrt{2C_p T_t}$
<i>C_P</i>	定圧比熱
<i>D</i>	直径
<i>F</i>	力
<i>f</i>	まさつ力
<i>L</i>	長さ
<i>M</i>	マッハ数
<i>m</i>	質量流量
<i>P</i>	圧力
<i>P_b</i>	ディフューザ背圧
<i>P_c</i>	低圧室圧力
<i>P_D</i>	ディフューザ入口平行部再付着点下流の静圧
<i>P_R</i>	セコンド・スロート斜め部静圧
<i>P_s</i>	短いセコンド・スロート出口のはくり部の静圧 (図 6 参照)
<i>P_t</i>	ノズル全圧
<i>P_{tx}</i>	垂直衝撃波前方の全圧
<i>P_{ty}</i>	垂直衝撃波背後の全圧
<i>R</i>	ガス定数
<i>R̄</i>	半径座標
<i>r</i>	半径
<i>T</i>	静温度
<i>T_t</i>	全温度
<i>u</i>	速度
<i>u₂</i>	非粘性ジェット境界の速度

<i>X</i>	非粘性ジェット境界にそった座標
<i>X̄</i>	軸方向座標
<i>x</i>	(26)式であらわされる座標
<i>Y</i>	ジェット境界に垂直な座標
<i>y</i>	(26)式であらわされる座標
<i>r</i>	比熱比
<i>ε</i>	うず粘度
<i>φ</i>	u/u_2
<i>η</i>	$\sigma x/y$, (29)式
<i>ψ</i>	再付着角度
<i>σ</i>	相似パラメタ
<i>θ</i>	角度

添字および上つき記号

1, 2, 3 軸方向位置, 2.2節においては 2 は非粘性ジェット境界をあらわす。

<i>D</i>	ディフューザ入口平行部
<i>DO</i>	ディフューザ入口, 1次元
<i>I</i>	非粘性ジェット境界の衝突点
<i>j</i>	j 流線
<i>m</i>	(26)式であらわせる y_m における性質
<i>NE</i>	ノズル出口
<i>R</i>	ディフューザ斜め部又は基準位置
<i>s</i>	はくり状態
<i>sp</i>	球形の
<i>ST</i>	セコンド・スロートまたは最小スタート
<i>X</i>	軸方向
*	ノズルスロートまたは特性値

2. 計 算 式

2.1 ディフューザ・スタート圧力比の計算

風胴のスタートの問題では垂直衝撃波理論⁶⁾が用いられるが、比較のために、セコンド・スロート・ディフューザ・プログラム (STD) に垂直衝撃波理論による計算も含めた。

2.1.1 垂直衝撃波理論

図 1において、全圧 P_t の気体は等エントロビ的にディフューザ入口面積 A_D まで膨脹し、 A_D においてひとつの垂直衝撃波によって背圧 P_b に等しい圧力になったときをスタート条件とする。衝撃波前方の一次元マッハ数を M_{D0} とすれば、等エントロビ関係から、

$$\frac{A_D}{A^*} = \frac{1}{M_{D0}} \left[\left(\frac{2}{r+1} \right) \left(1 + \frac{r-1}{2} M_{D0}^2 \right) \right]^{\frac{r+1}{2(r-1)}} \quad (1)$$

衝撃波前面の静圧を P_x 、背面のそれを P_y とすれば、

$$\frac{P_t}{P_x} = \left(1 + \frac{\gamma - 1}{2} M_{DO}^2\right)^{\frac{1}{\gamma-1}} \quad (2)$$

垂直衝撃波の関係から、

$$\frac{P_y}{P_x} = \frac{2\gamma}{\gamma+1} M_{DO}^2 - \frac{\gamma-1}{\gamma+1} \quad (3)$$

従って、最小スタート圧力比 $(P_t/P_b)_{ST}$ は、

$P_b \cong P_y$ として

$$\left(\frac{P_t}{P_b}\right)_{ST} = \frac{P_t}{P_x} \cdot \frac{P_x}{P_b} \quad (4)$$

また、最小作動圧力比は、図 1 のセコンド・スロート部に垂直衝撃波ができたときに相当するので、(1)式の A_D/A^* の代りに、 A_{ST}/A^* を入れればよい。

垂直衝撃波理論によるセコンド・スロートの収縮限界面積比は、 A_D における垂直衝撃波背後の全圧 P_{ty} をもつ等エントロピ流が、セコンド・スロート面積 A_{ST} においてショックする条件から求められる。連続式より

$$A^* P_{tx} = A_{ST} P_{ty} \quad (5)$$

従って、

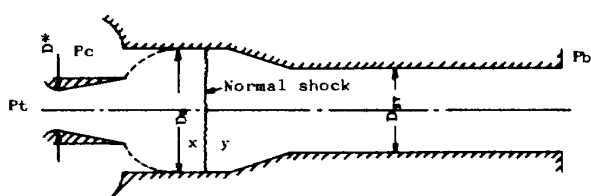


図 1 垂直衝撃波理論の流れモデル

$$\left(\frac{A_{ST}}{A_D}\right)_L = \frac{A_{ST}}{A^*} \cdot \frac{A^*}{A_D} = 1 / \left(\frac{A_D}{A^*}\right) / \left(\frac{P_{ty}}{P_{tx}}\right) \quad (6)$$

$$\frac{P_{ty}}{P_{tx}} = \left[\frac{\frac{\gamma+1}{2} M_{DO}^2}{1 + \frac{\gamma-1}{2} M_{DO}^2} \right]^{\frac{1}{\gamma-1}} / \left[\frac{2\gamma}{\gamma+1} M_{DO}^2 - \frac{\gamma-1}{\gamma+1} \right] \quad (7)$$

零 2 次流エゼクタにおいては、最小スタートと最小作動のあいだのヒステリシスはほとんどなく^{2,3)}従って垂直衝撃波理論は、一定断面積ディフューザに関しては実験との一致がみられるが、セコンド・スロート型のディフューザに関してはスタート圧力比は過大に、また最小作動圧力比は過小に見積る。また、零 2 次流エゼクタにおけるセコンド・スロートの限界収縮断面積比は、(6)式で計算される値よりも小さく取り得ることが Jones ら⁷⁾によって示されている（2.1.5 節参照）。しかし、この実験的限界収縮断面積比は比熱比 $\gamma = 1.4$ の気体に対するものであり、 γ の値が 1.4 と異なる場合は実験によって限界収縮断面積比を求めるか、又は、安全をみて、垂直衝撃波限界収縮断面積比を用いるかしなければならない。

2.1.2 長いセコンド・スロートの理論

セコンド・スロート・ディフューザのスタート特性の計算式は、一次元保存式をもとにしており、German²⁾の報告に書かれており、前報³⁾でその概要を述べたが、本資料の記述の一貫性のため、多少くわしく述べることにする。

セコンド・スロートの長さ／直径の値が 5 より大きければ、セコンド・スロート出口面ではほぼ均一な亜音速流が存在するものとする²⁾。このことが長いセコンド・スロートの意味である。保存式の解法を簡単にするために、次のような仮定をする。

- (1) 流れは定常である。
- (2) 気体は完全気体である。
- (3) 流れは断熱的である。
- (4) 図 2 における②と③の面において流れは一次元である。

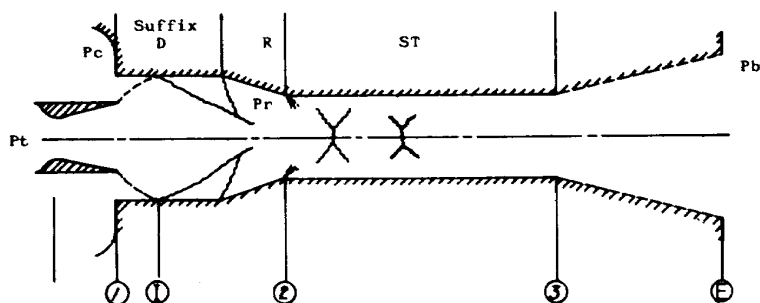


図 2 長いセコンドスロート理論の流れモデル

- (5) 低圧室からの流れはないものとする。
- (6) セコンド・スロート部における直線的なマッハ数分布を仮定し、まさつ係数は一定とする。
- (7) セコンド・スロート下流に亜音速ディフューザがないとき、③の面における静圧 P_3 が背圧 P_b に等しくなったときを最小スタート条件とする。
- (8) 亜音速ディフューザ付の場合、③の面から出口面⑩までは断熱効率 η_{ad} で背圧 P_b まで完全拡散がおこなわれるものとする。

図 2 の流れ場において、①と②の面とディフューザ内壁面に制御面をとって、運動量保存から、

$$\frac{\Sigma_1^2 F}{m\sqrt{RT_t}} = \frac{1 + rM_2^2}{M_2 \sqrt{r(1 + \frac{r-1}{2}M_2^2)}} \quad (8)$$

ここで M_2 は②の面のマッハ数、 m は質量流量、 R はガス定数であり、 T_t は全温度である。②の面における質量流量はノズルスロートにおける流量と等しいので、

$$m\sqrt{RT_t} = A^*P_t \sqrt{r(\frac{2}{r+1})^{\frac{r+1}{r-1}}} \quad (9)$$

また、 $\Sigma_1^2 F$ は①と②の面およびそのあいだのディフューザ壁面に働く既知の力であり、形式的につきのように書くことができる。

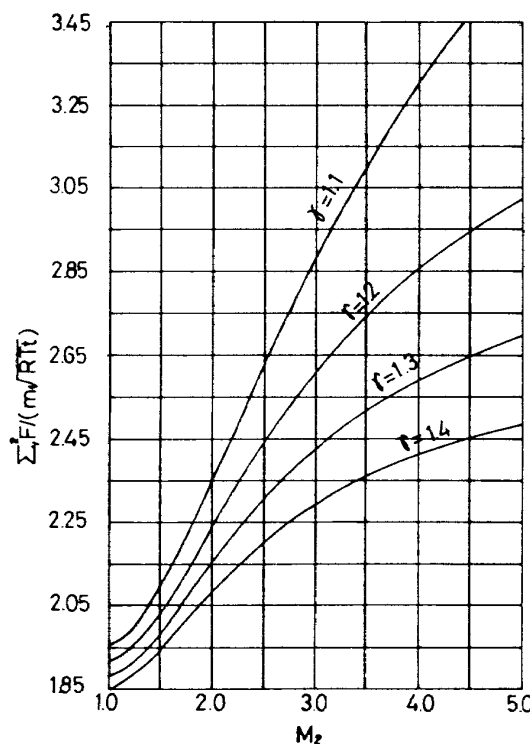


図 3 (8)式の関係

$$\begin{aligned} \Sigma_1^2 F &= F_{NEX} + P_c \pi (r_D^2 - r_{NE}^2) - f_D - f_{RX} \\ &\quad - 2\pi \int_{r_{ST}}^{r_D} P_R r dr \end{aligned} \quad (10)$$

(10)式の右辺の第1項はノズル推力、第2項は低圧室圧力×面積、第3項はディフューザ入口平行部のまさつ力、第4項はセコンド・スロート入口斜め部のまさつ力、第5項は斜め部圧力×面積の項でそれぞれのディフューザ中心軸に平行な成分をあらわしている。これらの近似的な算出法は後に述べる。

次に①の面と③の面およびディフューザ壁面に制御面をとって運動量保存則を適用する。セコンド・スロート部における直線的なマッハ数分布を仮定し、まさつ係数を一定とすれば、

$$\begin{aligned} \frac{\Sigma_1^2 F}{m\sqrt{RT_t}} &= \sqrt{\frac{2r}{r-1}} \frac{2C_f(L/D)_{ST}}{M_3 - M_2} \left[\left(\frac{2}{r-1} + M_3 \right)^{1/2} \right. \\ &\quad \left. - \left(\frac{2}{r-1} + M_2 \right)^{1/2} \right] + \frac{1 + rM_3^2}{M_3 \sqrt{r(1 + \frac{r-1}{2}M_3^2)}} \end{aligned} \quad (11)$$

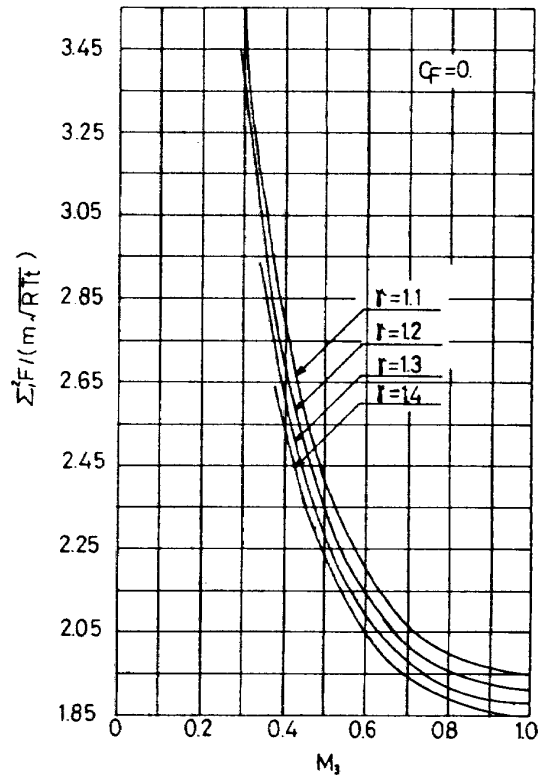


図 4 (a) (11)式の関係、 $C_F = 0$

$\Sigma_1^2 F / (m\sqrt{RT_t})$ をあたえると(8)式から M_2 がわかる。セコンド・スロート・ディフューザがスタートするためには、 $M_2 > 1$ でなければならないので、(8)式の根は超音速のものを取る。図 3 に(8)式の超音速の根を

$\Sigma_1^2 F / (m\sqrt{RT_t})$ の関数として示す。また、 M_2 がわかれば、(11)式から亜音速の M_3 を求めることができる。図 4 に(11)式の解を示す。図 4(a)は $C_f = 0$ の場合であり、図 4(b)は $C_F = 0.003$ 、 $(L/D)_{ST} = 6$ の場合の例である。 M_3 が求められれば、セコンド・スロート下流に亜音速ディフューザがない場合は、スタート条件(仮定 7)と連続式から、スタート圧力比は、

$$\left(\frac{P_t}{P_b}\right)_{ST} = \frac{P_t}{P_3} = \frac{A_3 M_3 \sqrt{\gamma} \left(1 + \frac{\gamma-1}{2} M_3^2\right)}{A^* \sqrt{\gamma} \left(\frac{2}{\gamma-1}\right)^{\frac{\gamma+1}{\gamma-1}}} \quad (12)$$

となる。

また、セコンド・スロートの下流に亜音速ディフューザをつけた場合、断熱効率を η_{ad} で背圧 P_b まで完全拡散がおこなわれるものとして、

$$\left(\frac{P_t}{P_b}\right)_{ST} = \frac{P_t}{P_{te}} = \left(1 + \frac{\gamma-1}{2} M_3^2 \eta_{ad}\right)^{-\frac{1}{\gamma-1}} \cdot \frac{P_t}{P_3} \quad (13)$$

によって求められる スタート時における断熱効率は、亜音速ディフューザ半開角 6° 以下、 $A_E/A_{ST} > 2.3$ 以上では 75% 以上の値が得られている⁸⁾。

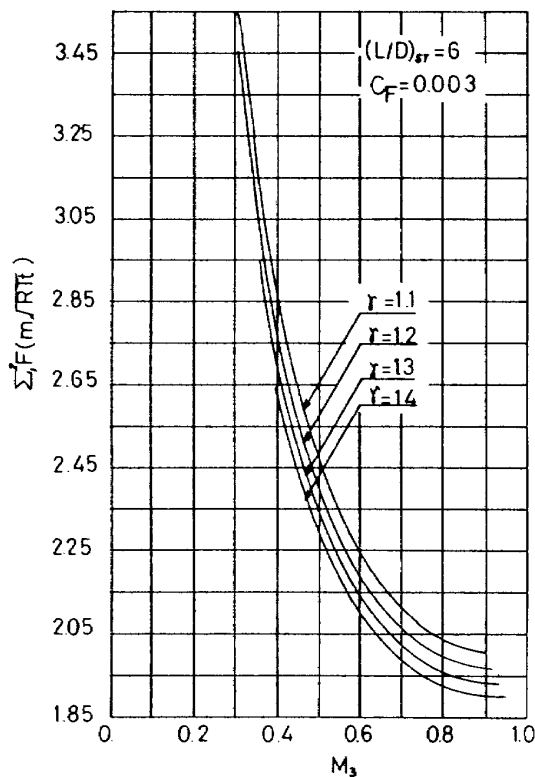


図 4 (b) (11)式の関係、 $C_F = 0.003$ 、 $(L/D)_{ST} = 6$

上述のように、 $\Sigma_1^2 F / (m\sqrt{RT_t})$ の値がわかれば、最小スタート圧力比は求められる。次に、(10)式の各項の近似的な求め方を述べる。

(1) 推力項

ノズル半開角 θ_{NE} の円錐型ノズルの出口面で球面状の等マッハ数面を仮定すれば、軸方向推力 F_{NEX} ⁹⁾ は

$$F_{NEX} = A_{NE} P_{sp} (1 + \gamma M_{sp}^2) \quad (14)$$

となる。等マッハ数球面の面積 A_{sp} は 1 次元出口面積 A_{NE} 、ノズル・スロート面積 A^* とのあいだに次の関係がなりたつ。

$$\frac{A_{sp}}{A^*} = \left(\frac{2}{1 + \cos \theta_{NE}} \right) \frac{A_{NE}}{A^*} \quad (15)$$

M_{sp} および P_{sp} は A_{sp}/A^* 、 P_t を用いて等エントロピーの関係から求められる。

(2) 低圧室圧力 — 面積項

低圧室圧力は、2.2 節でのべる方法によれば、より正確に求めることができると、ここでは作動流体が等エントロビ的にディフューザ入口径まで膨脹するときの静圧として求める。この項は(10)式の他の項に比べて小さく、また、2.2 節で述べるくり返し計算をさけることができる。ここでは(2)式の P_x の値を用いる(3.2 節参照)。

(3) ディフューザ入口まさつ項

非粘性ジェット境界がディフューザ壁に衝突する点 X_I を特性曲線法によって求める。 X_I からセコンド・スロート斜め部入口 X_R までの流れの速度は、ジェット境界のマッハ数から、1コの斜め衝撃波によって壁に平行に流れえたときのマッハ数 M_D から計算する。ディフューザ入口まさつ項は次のように与えられる。

$$f_D = \pi \gamma C_f P_D M_D^2 \tau_D (X_R - X_I) \quad (16)$$

また、斜め衝撃波の関係¹⁴⁾から M_D, P_D は、 θ_I をジェット境界と壁のなす角度として形式的に、

$$M_D = M_D(\theta_I, M_{DO}) \quad (17)$$

$$\frac{P_D}{P_t} = \frac{P_D}{P_t}(M_D, M_{DO}) \quad (18)$$

となる。

(4) セコンド・スロート斜め部圧力 — 面積項およびまさつ項

斜め部圧力—面積項は、(10)式右辺で F_{NEX} について大きな値をもつ項である。German²⁾ の円錐型ノズルに対する近似的な方法によれば、斜め部圧力 P_R は斜め部に渡って一定であり、 A_D まで等エントロビ的に膨脹した流れが、全まがり角 $\theta_I = \theta_m + \theta_{ST}$ で斜め部壁面に平行にまげられたときの斜め衝撃波背後の静圧として求める。

θ_{ST} は斜め部の角度であり、 θ_M は、図 5 に示されるように、斜め部の平均断面積、ノズル位置等によって次のようにきめられる。

$$\theta_m = \tan^{-1} \left[\frac{\sqrt{\frac{A_{ST}}{A_D} + 1}}{2\sqrt{2} \left(\frac{X_n}{D_D} + \frac{X_r}{D_D} \right) + \frac{\sqrt{2} - \sqrt{\frac{A_{ST}}{A_D} + 1}}{\tan \theta_{ST}}} \right] \quad (18)$$

斜め部圧力面積項は

$$2\pi \int_{r_{ST}}^{r_D} P_R r dr = \frac{\pi}{4} P_R (D_D^2 - D_{ST}^2) \quad (19)$$

また、さつき項は、

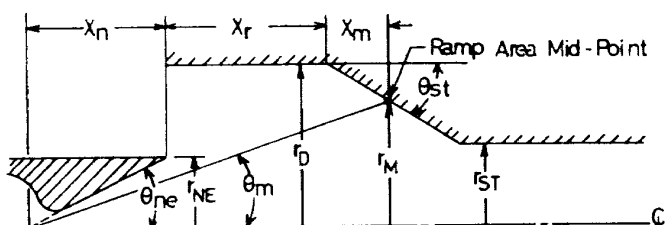
$$f_{RX} = \frac{r C_f}{2} P_R M_R^2 \frac{\pi}{4} (D_D^2 - D_{ST}^2) \cot \theta_{ST} \quad (20)$$

となる。

かくして、(10)式は、(9)式を用いて、

$$\begin{aligned} \frac{\Sigma_1^2 F}{m\sqrt{RT_t}} &= \frac{1}{\sqrt{r \left(\frac{2}{r+1} \right)^{\frac{r+1}{r-1}}}} \left\{ \frac{A_{NE}}{A^*} \frac{P_{sp}}{P_t} (1 + r M_{sp}^2) \right. \\ &+ \frac{P_c}{P_t} \left(\frac{A_D}{A^*} - \frac{A_{NE}}{A^*} \right) - 2r C_f \left(\frac{P_D}{P_t} \right) M_D^2 \frac{A_D}{A^*} \left(\frac{X_{ST} - X_I}{D_D} \right) \\ &- \frac{r C_f}{2} \left(\frac{P_R}{P_t} \right) M_R^2 \left(\frac{A_D}{A^*} - \frac{A_{ST}}{A^*} \right) \cot \theta_{ST} \\ &\left. - \left(\frac{P_R}{P_t} \right) \left(\frac{A_D}{A^*} - \frac{A_{ST}}{A^*} \right) \right\} \end{aligned} \quad (21)$$

となる。



$$\theta_m = \arctan \left(\frac{h_m}{X_n + X_r + X_m} \right)$$

$$\theta_t = \theta_{st} \cdot \theta_m$$

図 5 セコンド・スロート斜め部圧力の求め方

2.1.3 一定断面積ディフューザの場合

一定断面積ディフューザの場合には、(7)式で右辺の第一項と第二項を残し、(8)式より M_2 を求め、(1)式 $(L/D)_{ST}$ と $(L-X_I)/D_D$ を用いて M_3 を求め、(12)式又は(13)式によってスタート圧力比を求めればよい。

2.1.4 短いセコンド・スロートの場合

短いセコンド・スロートとは、セコンド・スロートにはいってくるマッハ数と、セコンド・スロートを出てゆくマッハ数がほど等しい場合 ($L/D < 1$) である。このようなディフューザのスタート条件は、図 6 に示すセコンド・スロート出口におけるはくり領域の圧力 P_s が、セコンド・スロートにおけるはくりを起さない最大の圧力に等しいものとする。2.1.2節の(1)～(5)の仮定がなりたつものとして(8)式より M_2 を計算する。①と③のあいだで運動量保存式をたてると、次の式が得られる。

$$\frac{\Sigma_1^2 F + P_s \pi (r_E^2 - r_{ST}^2)}{m \sqrt{RT_t}} = \frac{1 + r M_3^2}{M_3 \sqrt{r} \left(1 + \frac{r-1}{2} M_3^2 \right)} \quad (22)$$

はくりの圧力比と M_2 との関係は Arens and Spiegler によれば¹⁰⁾、はくり特性マッハ数を M_s^* として

$$M_s^* = \frac{M_2 \left(\frac{u_s^*}{u_2} \right)}{\left\{ 1 + \frac{r-1}{2} M_2^2 \left[1 - \left(\frac{u_s^*}{u_2} \right)^2 \right] \right\}^{1/2}} \quad (23)$$

$M_s^* < 1$ のとき

$$\frac{P_s}{P_2} = \left\{ \frac{1 + \frac{r-1}{2} M_2^2}{1 + \frac{r-1}{2} M_2^2 \left[1 - \left(\frac{u_s^*}{u_2} \right)^2 \right]} \right\}^{\frac{r}{r-1}} \quad (24)$$

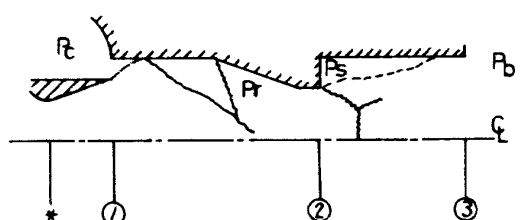


図 6 短いセコンド・スロートの流れモデル

$M_s^* > 1$ のとき

$$\frac{P_s}{P_2} = \frac{\gamma+1}{2} M_2^2 \left(\frac{u_s^*}{u_2} \right)^2 \sqrt{\frac{\gamma}{\gamma-1}} \left/ \left\{ 1 + \frac{\gamma-1}{2} M_2^2 \left[1 - \left(\frac{u_s^*}{u_2} \right)^2 \right] \right/ \left\{ \frac{M_2^2}{2} \left[(\gamma+1) \left(\frac{u_s^*}{u_2} \right)^2 - \frac{(\gamma-1)^2}{\gamma+1} \right] - \frac{\gamma-1}{\gamma+1} \right\}^{\frac{1}{\gamma-1}} \right)$$
(25)

とあたえられる。ステップに対しては特性速度比 u_s^*/u_2 は 0.56 とする。

式より M_3 が求められれば、式からスタート圧力比を求めることができることができる。

図 6 に示す形状ではなく、セコンド・スロート出口部が大気に開放されているか、大きな容積の空間につながっている場合は、において $P_s = P_b$ とおくことによって M_3 が求められる。

2.1.5 限界収縮断面積比

セコンド・スロートの限界収縮断面積比は、セコンド・スロート入口のマッハ数 $M_2 = 1$ となる条件から求める。ただし、 $\gamma = 1.4$ の場合に Jones ら⁷⁾ の実験値と合わせるために、全まがり角 $\theta_t = 35^\circ$ としなければならない²⁾。また、計算においては、推力項と低圧室圧力一面積項を足し合せて 1 次元ディフューザ入口マッハ数 M_{D0} とその静圧の関数として γ と A_D/A^* であらわし、ディフューザ入口および斜め部のまさつを無視した。計算と Jones らによってまとめられた実験線は、図 7 に示されるように良い一致を示す。他の γ の値に対しても、ここで

おこなった計算が有効である可能性はきわめて小さい。しかしながら、高い A_D/A^* においては、通常のロケット推進薬においては γ の値は 1.4 よりは小さいがそれに近い値を取るので、 $\gamma = 1.4$ のときの限界断面積比を取れば実際の限界値よりも安全側に限界断面積比を見積ることになろう⁷⁾。

2.2 低圧室圧力比の計算

Korst⁴⁾によれば、非粘性のジェット境界に、保存式を満足するようにデッド・エアー域と主流の混合領域を重ね合せることによって、デッド・エアー域の圧力を求める問題を取りあつかうことができる。ここで述べる低圧室圧力の計算法では Korst の基底圧理論における再付着の Criteria, すなわち、分割流線の全圧は、非粘性ジェットが壁面に衝突して流れの方向を変えたときにできる斜め衝撃波背後の静圧に等しいとおく Criteria の代りに Sirieix ら⁵⁾によって提案された考え方、すなわち、ジェット境界流線が壁面に衝突再付着するときの壁面と非粘性ジェット境界のなす角度が非粘性ジェット境界のマッハ数と 1 対 1 の対応があるとする Criteria を用いる。

Sirieix らの再付着角度の相関は、ソニックノズル又は開口面積比が 1.2 以下のノズルを用いた実験をもとにしており¹⁵⁾、ロケット・エンジンの高空性能試験でみられる高膨脹ノズルに対しては実験との一致がみられなかったので高膨脹ノズルを用いたときの実験値をもとに新しい相関をおこなった。

本方法は実験をもとにした近似でもあり、ノズル出口における初期の境界層は無視し、デッド・エアー域の圧力 P_c は一定とし、2 次流は零であるという簡単化をおこな

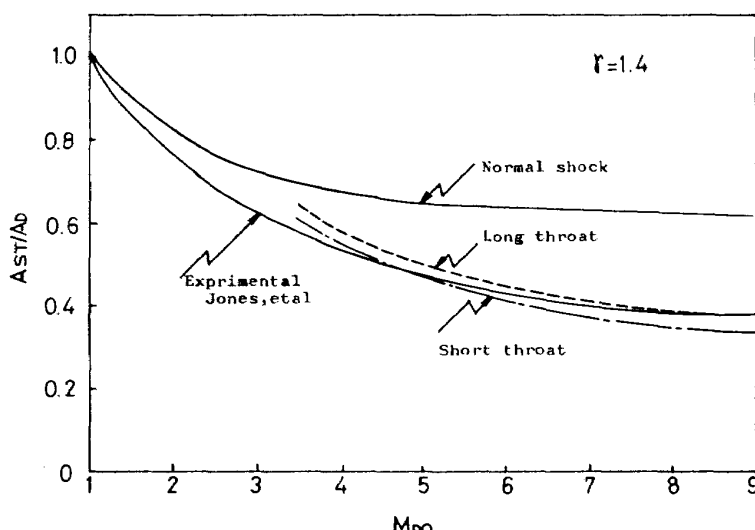


図 7 セコンドスロート限界収縮断面積比

った。また、軸対称ノズルからの非粘性のジェットは、2次元の場合とは異なり、その境界に垂直な面の速度分布は一様ではなく、最初に Kors et⁴⁾ がおこなった仮定を満足しておらず、非粘性ジェット境界に混合領域を重ね合せる方法自体も厳密には正当化されないが、これによる誤差も実験的相関のなかに考慮されているものと見なすことができる。計算プログラム (ZFE2) は付録に示す。

図 8 に示すように、円錐ノズル出口面において球形の等マッハ数面を半径流れを仮定して与え、 P_c/P_t を仮定することにより非粘性ジェット境界は特性曲線法を用いて計算することができる。この非粘性のジェット境界にそった座標軸 X とそれに垂直な座標軸 Y であらわされる座標系 (X, Y) から Y 方向に y_m だけ離れた座標系 (x, y)

$$\begin{aligned} X &= x \\ Y &= y - y_m(x) \end{aligned} \quad \} \quad (26)$$

但し $y_m(0) = 0$

の上で、次のような単純化した運動方程式がなりたつものとする。

$$\frac{\partial u}{\partial x} = \frac{\epsilon}{u_2} \frac{\partial^2 u}{\partial y^2} \quad (27)$$

初期の境界層厚さが無視できるときは、(27)式の一般解は対応する境界条件のもとで次のような簡単な解としてあらわされる⁴⁾。

$$\varphi = \frac{u}{u_2} = \frac{1}{2} (1 + erf \eta) \quad (28)$$

ただし、 $erf \eta$ はガウスの誤差関数であり、 η は

$$\eta = \sigma \frac{y}{x} \quad (29)$$

ここで σ は実験的に求められる相似パラメタであり、

$$\sigma = 12 + 2.76 M_2 \quad (30)$$

によって圧縮性を考慮する¹¹⁾。

$y_m(x)$ の位置と、ジェット境界の流線の位置は、図 9 に点線で示される制御面において、運動量保存

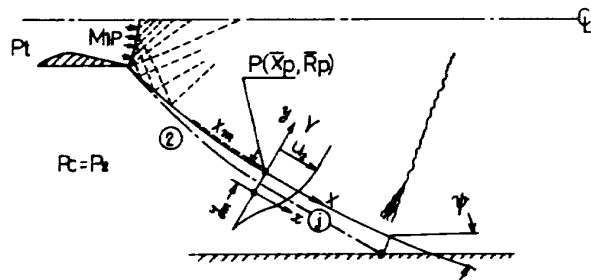


図 8 低圧室圧力を求めるための流れモデル

式をたてることによって得られる。2次流がないとするから、運動量保存式は Y_R を十分大きくとって、

$$\rho_2 u_2^2 Y_R = \int_{-\infty}^{Y_R + y_m} \rho u^2 dy$$

又は

$$\eta_R - \eta_m = \int_{-\infty}^{Y_R} \frac{\rho}{\rho_2} \varphi^2 d\eta \quad (31)$$

Crocco の無次元速度 $C = u / \sqrt{2 C_p T_t}$ を導入すれば、

$$\frac{\rho}{\rho_2} = \frac{T_t/T}{T_t/T_2} = \frac{1 - C^2}{1 - C_2^2 \varphi^2} \quad (32)$$

とあらわせるので、(31)式を書きなおすと、

$$\eta_m = \eta_R - (1 - C_2^2) \int_{-\infty}^{Y_R} \frac{\varphi^2 d\eta}{1 - C_2^2 \varphi^2} \quad (33)$$

ここで C とマッハ数 M との関係は、

$$C = [1 + \frac{2}{(\gamma - 1)M^2}]^{-\frac{1}{2}} \quad (34)$$

2次流がないので、ジェット境界の流線 j の位置は

$$\rho_2 u_2 Y_R = \int_{y_j}^{Y_R + y_m} \rho u dy$$

によってきめられる。上の式を書きなおすと、

$$\eta_R - \eta_m = \int_{y_j}^{Y_R} \frac{\rho}{\rho_2} \varphi d\eta$$

となり、(32)式を用いて(33)式と組み合せると、

$$\int_{y_j}^{Y_R} \frac{\varphi d\eta}{1 - C_2^2 \varphi^2} = \int_{-\infty}^{Y_R} \frac{\varphi^2 d\eta}{1 - C_2^2 \varphi^2} \quad (35)$$

が得られる。

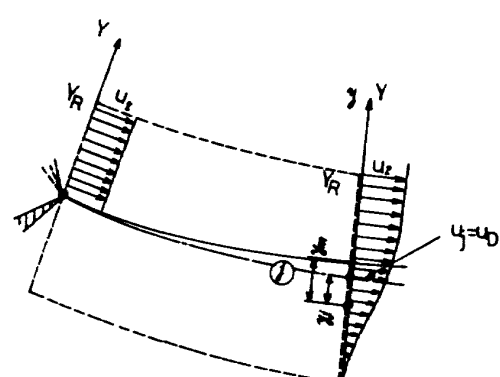


図 9 混合領域の流れモデル

図 8 に示される非粘性ジェット境界上の点 (\bar{X}_P, \bar{R}_P) まで特性曲線法によって計算がおこなわれた後(ここで \bar{X}_P はノズル出口から中心線にそった距離であり, \bar{R}_P は半径である), Y 軸上の j 流線の位置を次の式を用いて非粘性座標へもどす。

$$\begin{aligned}\bar{X}_j &= \bar{X}_P + \frac{x_m}{\sigma} (\eta_m - \eta_j) \sin \theta_P \\ \bar{R}_j &= \bar{R}_P - \frac{x_m}{\sigma} (\eta_m - \eta_j) \cos \theta_P\end{aligned}\quad \left. \right\} \quad (36)$$

ここで, θ_P は P 点における流れの方向が中心軸となす角度であり, 反時計方向を正とする。 x_m はノズル出口面から点 P までの非粘性ジェット境界の長さであり, η_m より η_j はそれぞれ(33)式と(35)式を用いて計算する。非粘性ジェット境界の各点において, (36)式を用いて j 流線の位置を求め, ディフューザの入口径と比較し, R_j がディフューザ半径より大きくなつた場合には, 特性曲線のメッシュを細分化することによって, j 流線がディフューザと衝突する点求めることができる。この点における壁面と非粘性境界のなす角度 ψ を再付着角とする。

Sirieix らの再付着角度の Criteria は, j 流線がディフューザ壁面に衝突する点における非粘性ジェット境界と壁面のなす角度 ψ が M_2 のみの関数となるということである。

図 10 に文献^{2,12-14)} から得られた低圧室圧力比 P_c/P_t の値を用いて ψ を計算した結果を示した。実験値は, ノズル出口マッハ数 $M_{NE} > 2.8$, ノズル出口半頂角

$15^\circ \sim 18^\circ$, 作動流体比熱比 $\gamma = 1.4$ のもので, 類似な実験条件において, 他のグループのデータと大きくはなれるものは除外した。図 10 に示されるように, 非粘性ジェット境界のマッハ数 M_2 と再付着角度とのあいだには 1 対 1 の関係は得られていないし, また Sirieix らの相関との一致は得られていない。図からわかるように, ψ は M_{NE} が小さい場合には大きな値を取る傾向にある。Sirieix らの相関は $M_{NE} < 1.5$ の範囲でおこなわれている¹⁵⁾ ので, ψ が大きくなつているものと思われる。ロケットエンジンの高空性能試験においては, 低膨脹ノズルは用いないので, Sirieix らの相関の代りに, $M_{NE} > 2.8$ のデータを用いて, $C_{NE}^2 \psi$ 対 C_2 のプロットをおこなつたのが図 11 である。実験の範囲内で, ほど良好にデータが整理できることがわかる。実験点を代表する曲線を C_2 の多項式として近似すると(2次式, 3次式, 4次式の近似を試みたが, 実験点の範囲ではほとんど同一であった),

$$C_{NE}^2 \psi = -268.7 + 559.3 C_2 - 270.5 C_2^2 \quad (37)$$

が得られた。ただし ψ は度であらわすものとする。

低圧室圧力比 P_c/P_t を求める計算は次のような手順でさゝめる。先ず P_c/P_t の値を仮定し, 等エントロビの関係から $M_2^{(0)}$ を求め, 初期マッハ数分布とプラントル・マイヤ関係式から出発し, 特性曲線法によって非粘性ジェット境界を計算し, 境界の各点で混合領域を前述のように重ね合せ, j 流線の壁面への衝突点とそのときの再付着角度 ψ を求める。この ψ の値を用いて, (37)式から C_2 , 従つて $M_2^{(0)}$ を計算し, 最初に仮定した P_c/P_t に対応する $M_2^{(0)}$ と比較

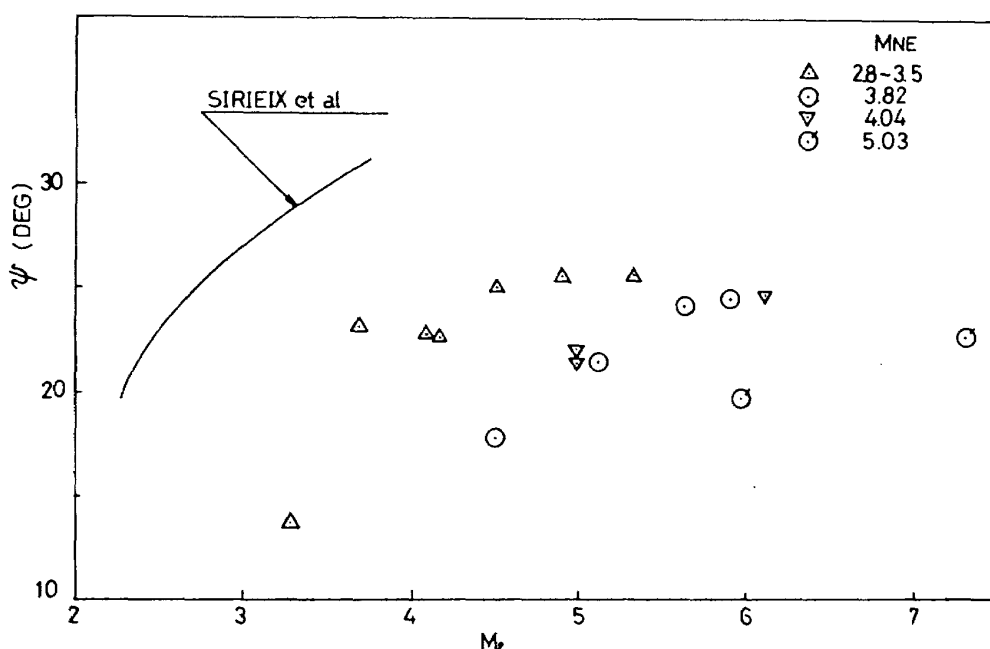


図 10 再付着角度とジェット境界のマッハ数

する。最初の値と一致しないときには、次のように新しい値を仮定する。

$$M_2^{(n+1)} = M_2^{(n-1)} + [M_2^{(n-1)} - M_2^{(n)}] / a \quad (38)$$

a の値は 4 又は 8 を用いるのが適当である。第 n 回目の計算値 $M_2^{(n)}$ と $n+1$ 回目の計算値 $M_2^{(n+1)}$ が一致するまでくり返し計算をおこなう。求められた M_2 に対応する P_c/P_t が求める低圧室圧力比である。

3. 計 算 例

3.1 ディフューザ・スタート圧力比

表 1 にセコンド・スロート・ディフューザ・プログラム (STD) を用いた計算結果と実験値との比較をおこなった。広範囲の形状パラメタの変化に対しても、ディフューザ・スタート圧力比の予測は、ほど満足すべき精度でおこなわれることがわかる。また、比熱比 γ の値が 1.4 以外でも予測は大きく外れないことが示される (表 1, Case 14 ~ 16 参照)。表 1 の結果は、以下におこなうセコンド・スロート・ディフューザのスタートについての各種パラメタの効果を調べるために STD を用いることの有効性に対する程度の保証をあたえるものと考えられる。

図 12 に示す 2 種の標準形状の零 2 次流エゼクタ (ノズル-ディフューザ)を中心にして各種パラメタを変えた場合に予想されるディフューザのスタート圧力比の計算をおこなった結果を以下に示す。標準形状ディフューザ 1

(DS1) は空気 ($\gamma = 1.4$) を作動流体と想定している。また、標準形状ディフューザ 2 (DS2) は上段用水素-酸素エンジンを想定したものである。図 13 に示すように、ノズル開口比 1.00 以上では、比熱比 γ はほど 1.3 であるので¹⁶⁾、DS2 については $\gamma = 1.3$ とした。また、セコンド・スロート収縮面積比は、DS1 では(6)式で示される垂直衝撃波理論の値を、DS2 ではその 6 % 減の値を取った。亜音速ディフューザは半開角 6°、出口面積/入口面積 = 2.8 とし、その断熱効率は 75 %とした⁸⁾。以下の図においては、特にことわらない限り、変化させたパラメタ以外は図 12 に示された幾何学的形状をもつものとする。また、指示されていない場合、スタート圧力比の値は亜音速ディフューザのない場合を示すものとする。

(1) ノズル出口角度の効果

図 14 に円錐型ノズルの出口半開角を 0 ~ 20°まで変えたときのスタート圧力比 P_t/P_b を示す。 $\theta_{NE} = 0$ の場合は STD ではジェット境界の計算がおこなえないもので、 $\theta = 0.15^\circ$ と入力する。付録のリストには示されていないが、 $\theta = 0$ の場合のサブルーチンを用いる事によって、 $\theta = 0.15^\circ$ と $\theta = 0$ の場合に対する計算は実質的に一致することが確かめられている。ノズル半開角 0 ~ 20°の変化に対して、DS1, DS2 共約 23 % の P_t/P_b の増加が予想される。

(2) ノズル開口面積比 (A_{NE}/A^*) , ディフューザ入口

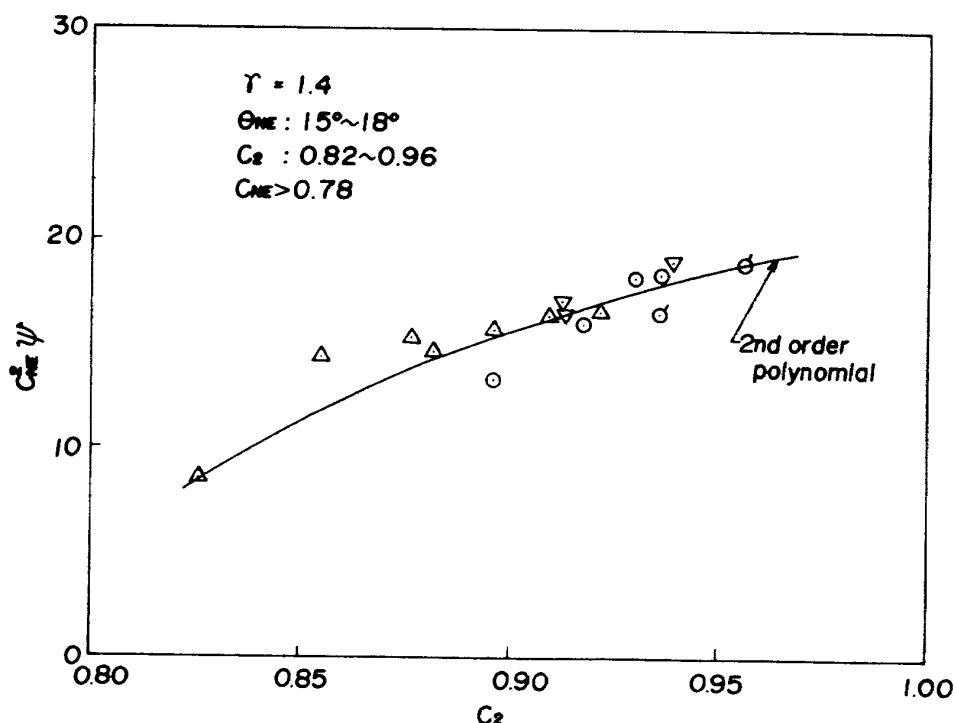
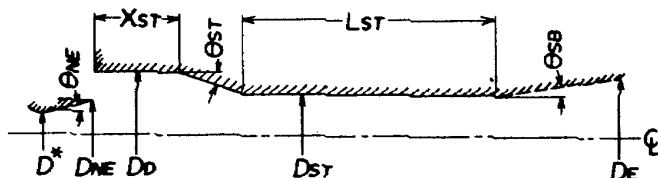


図 11 再付着角度の相関

表1. ディフューザ・スタート圧力比の計算例

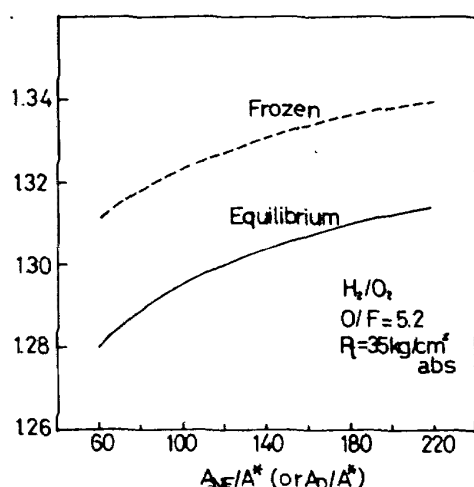
Case No.	τ	A_{NE}/A^*	$\theta_{NE}(\circ)$	Input data	A_{ST}/A_D	$\theta_{ST}(\circ)$	X_{ST}/D_D	$(L/D)_{ST}$	CALC $(P_e/P_b)_{ST}$	EXP $(P_e/P_b)_{ST}$	Ref
1	1.4	10.85	18	22.7	0.5	12	0.87	8.0	18.5	11.5	13
2		25.0		52.5	0.5		1.33	8.0	28.2	24.4	13
3		10.85		65.2	0.438		0.8	5.0	37.3	35.5	2
4		18.57		108.2	0.438		0.92	8.1	58.1	52.6	2
5		25.0		150.5	0.438		1.0	8.1	77.7	76.9	2
6		10.7	15	15.2	0.522	11.5	0.64	5.83	8.64	9.63	8
7		10.7		35.4	0.667	18.3	1.0	6.04	28.8	22.5	8
8		10.7		35.4	0.511	11.5	1.0	5.93	19.6	19.1	
9		25.0		35.4	1.0	—	—	8.07	27.8	27.8	
10		25.0		35.4	0.667	18.3	1.0	5.93	22.3	21.7	
11		25.0		35.4	0.511	11.5	1.0	8.07	18.0	18.6	
12*		23.68	0	44.7	0.5	12	0.68	8.0	19.4	20.0	13
13*		23.68	0	128	0.438	12	0.86	8.1	48.8	59.9	2
14	1.22	20.8	12.8	25.7	0.510	10	1.0	6.0	10.7	12.2	
15	1.22	20.8	12.8	25.7	0.510	10	1.0	10.0	11.0	11.4	
16	1.8	20.8	12.8	25.7	0.545	8	2.0	6.0	12.1	15.6	

* $\theta_{NE} = 0.15^\circ$ と入力する。 P_e/P_t は Kortst の基底圧理論のサブルーチンを用いた。



Code	τ	A_{NE}/A^*	A_D/A^*	$\theta_{NE}(\circ)$	A_{ST}/A_D	$\theta_{ST}(\circ)$	X_{ST}/D_D	$(L/D)_{ST}$	A_E/A_{ST}	$\theta_{SE}(\circ)$
DS1	1.4	25	36.48	15	0.646	12	1.	6.	2.3	6
DS2	1.3	100	150	15	0.546	12	1.	6.	2.3	6

図 12 標準形状ディフューザ

図 13 H_2/O_2 燃焼ガスの比熱比

面積比 (A_D/A^*) の効果

図 15 に A_D/A^* を一定にして A_{NE}/A^* を変えたときのスタート圧力比を示す。 A_{NE}/A^* が A_D/A^* の $1/2$ ~ $1/3$ になると急速にスタート圧力比が上昇する傾向にある。図 16 に A_{NE}/A^* を一定にして A_D/A^* を変えた場合のスタート圧力比を示す。 A_D/A^* の増加に伴なって P_t/P_b はほど直線的に増加することがわかる。一般に、ロケットエンジン試験用のディフューザにおいては、ノズル出口径とディフューザ入口径はあまり大きくあけないこ

とが望ましい。図 17, 18 に $A_D/A_{NE} = 1.15$ の場合について A_{NE}/A^* を(従って A_D/A^* も) 変えた場合に予想されるスタート性能を示す。図 15 ~ 18 の傾向は実験的にも確かめられている。

(3) セコンド・スロート形状の効果

図 19 (a), (b) にセコンド・スロート収縮面積比 A_{ST}/A_D の効果を示す。計算は一定断面積ディフューザ ($A_{ST}/A_D = 1$) から、2.1.5 節で述べた実験的収縮限界までの計算をおこなった。また、垂直衝撃波理論による収縮限界も同

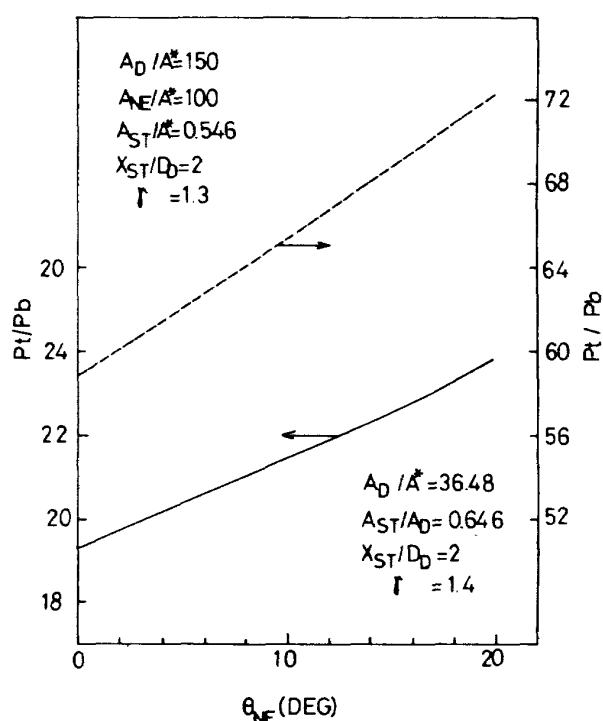


図 14 ノズル出口角度のスタート圧力比に及ぼす効果

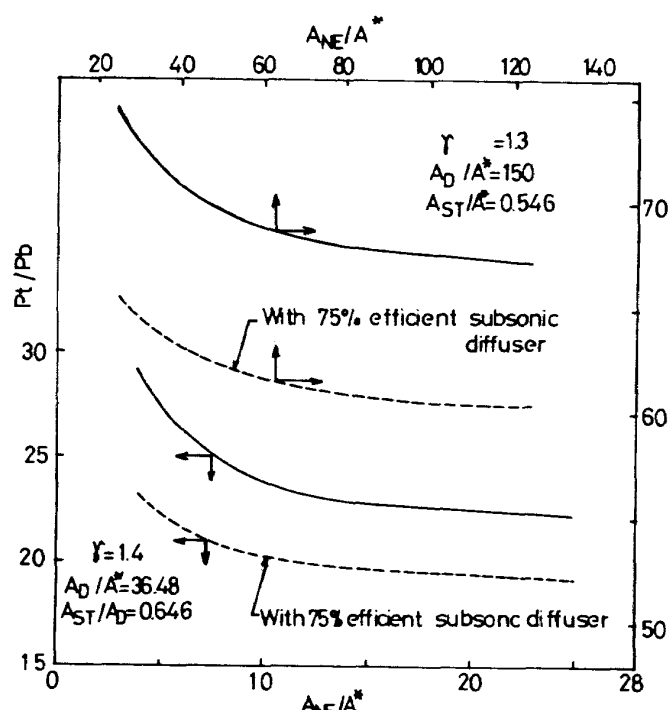


図 15 ノズル開口比の効果

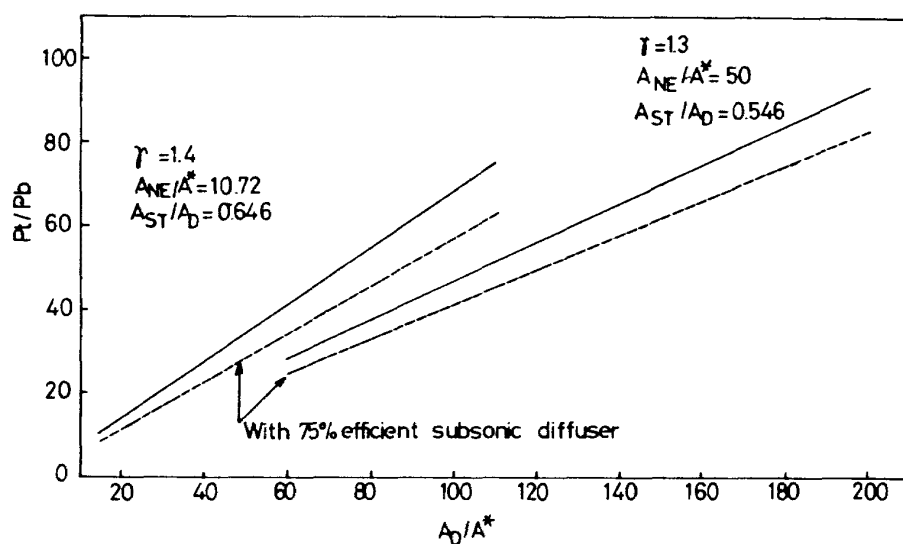


図 16 A_D/A^* の効果

時に図示した。実験によって示される通り、スタート圧力比における A_{ST}/A_D の効果はきわめて大きい。

図 20 にセコンドスロートの長さの効果を示す。

$(L/D)_{ST} 5 \sim 11$ の範囲では、スタート圧力比の変化はわずかであり、実験と一般的な一致を示す。

図 21 には、セコンドスロート収縮部の斜め角度 θ_{ST} の効果を示す。 θ_{ST} を増加させるとスタート圧力比も増加するという計算になるが、この結果は実験¹⁸⁾とは一致していない。斜め部圧力の半実験的な計算法は十分な一般

性をもたないものと考えなければならない。

(4) 比熱比の効果

図 22 に示すように、同一形状で比熱比が増加すればスタート圧力比も増加することが予想される。このことを定量的に示した実験は筆者らの知る限りでは報告されていないので、実験データの追加が望まれる。

(5) 亜音速ディフューザ効率の効果

図 19 に示すように、断熱効率 $\eta_{ad} 75\%$ の亜音速ディフューザをつけることによって DS 1 では約 13%，

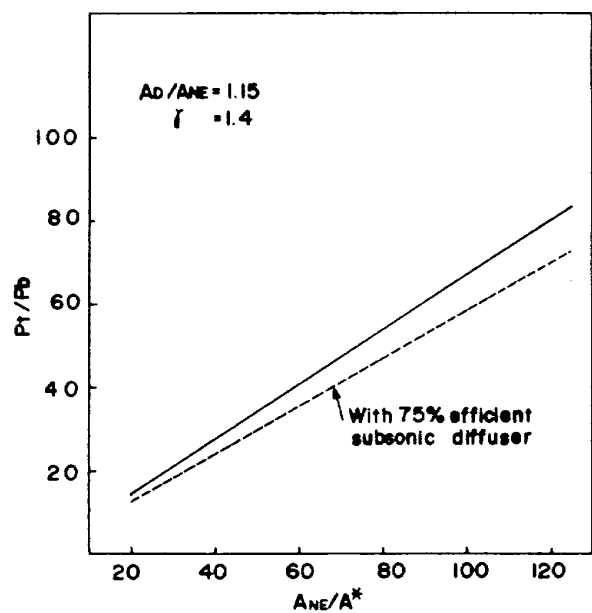


図 17 $A_D/A^* = 1.15$ のときの A_{NE}/A^* の効果
(DS 1 より派生する形状)

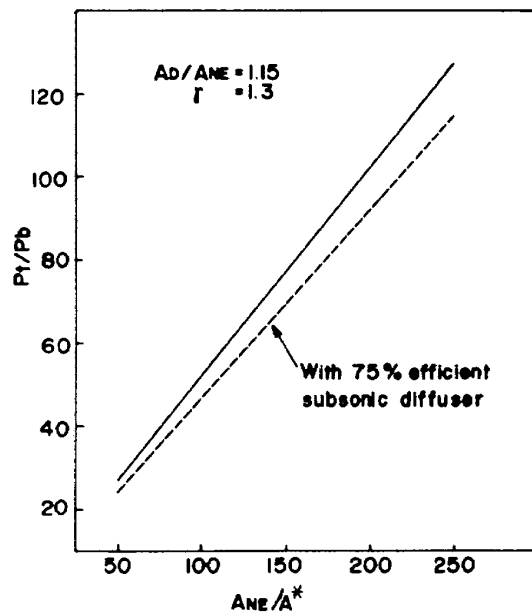


図 18 $A_D/A^* = 1.15$ のときの A_{NE}/A^* の効果
(DS 2 より派生する形状)

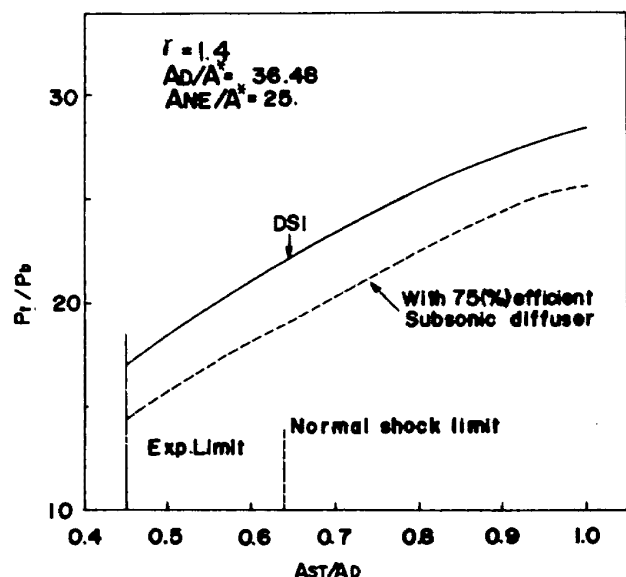


図 19 (a) セコンドスロート収縮断面積比の効果
(DS 1 より派生する形状)

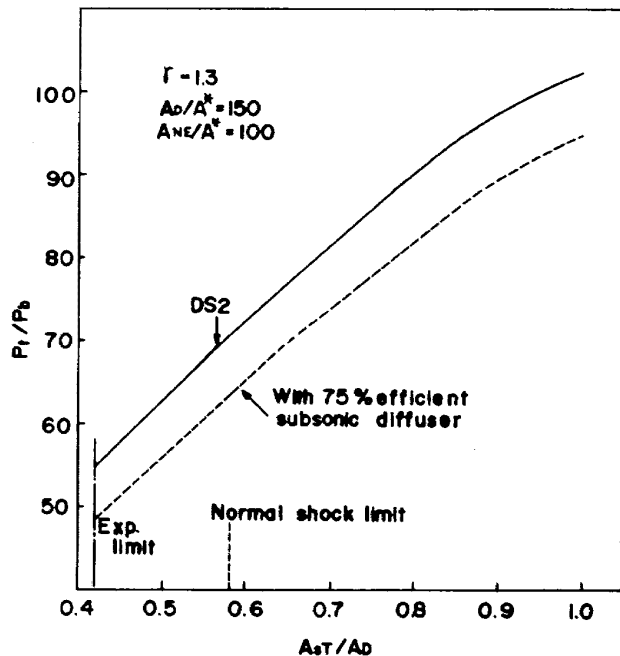


図 19 (b) セコンドスロート収縮断面積比の効果
(DS 2 より派生する形状)

DS2 では約 11% だけスタート圧力比が減少する。亜音速ディフューザ部の長さを短かくするためには、半開角 θ_{SB} を大きく取らなければならない。 θ_{SB} を大きくすると、断熱効率は一般に低下する。 $A_E/A_{ST} = 2.8$ で θ_{SB} を $4^\circ \sim 12^\circ$ まで変えると η_{ed} は 0.9 ~ 0.5 まで変化する⁸⁾。図 23 に η_{ed} の変化に対するスタート圧力比の変化を示す。 η_{ed} を 0.5 から 0.9 まで変えると DS1 では約 7% DS2 では約 5% スタート圧力比が減少することが期待される。

以上の簡単なパラメタ研究から、供試エンジン諸元、および、ディフューザ部の長さの制限条件があたえられれば、

最大のスタート性能を示すディフューザの初期設計の方向が得られる。しかしながら、比熱比、全温度レベル等のスタート性能、および、セコンドスロート限界収縮断面積比に及ぼす効果などは十分確立されていない。また、限界収縮断面積比近くにおけるスタート圧力比以下の圧力比における不安定⁸⁾の問題なども考慮する必要がある。これらの問題は、安全をみた設計をおこなうことによってさける方法をとるか、又は、モデル試験等によって実験的に確かめなければならない。

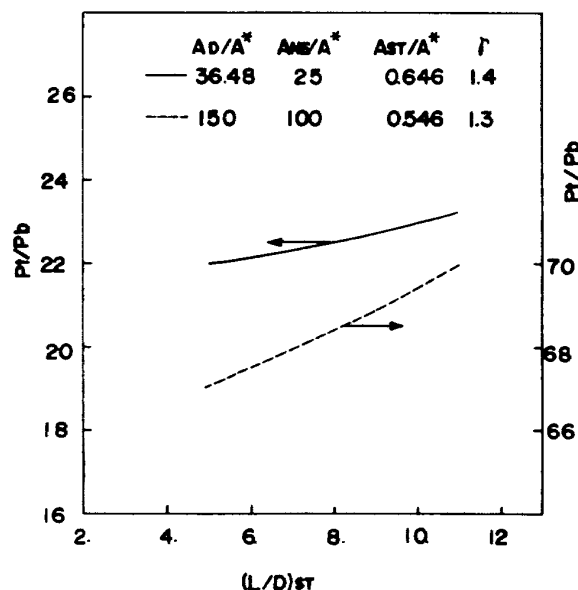


図 20 $(L/D)_{ST}$ の効果

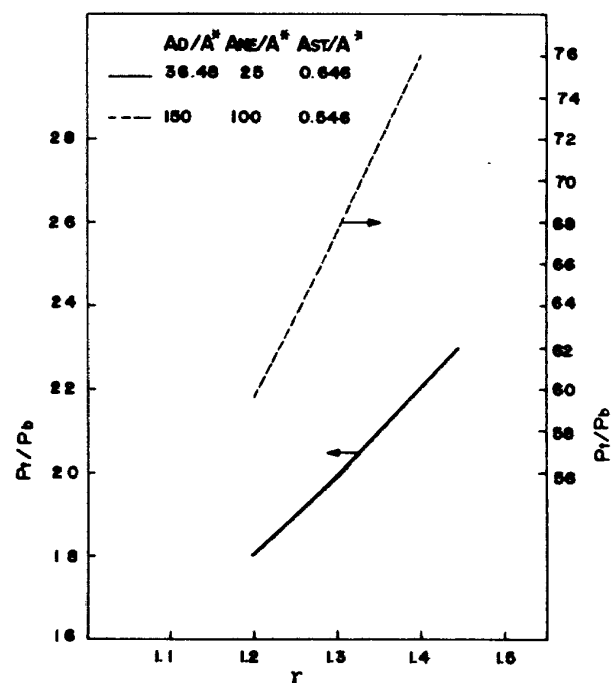


図 22 比熱比の効果

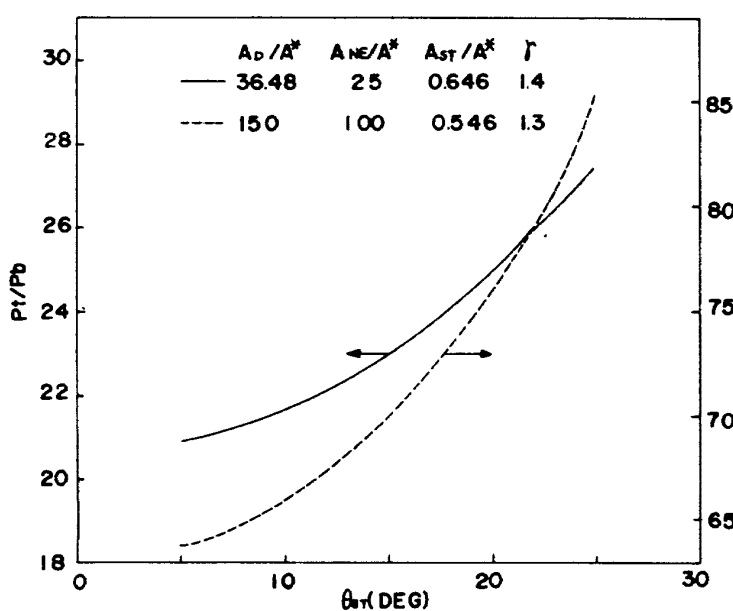


図 21 セコンドスロート斜め部角度の効果

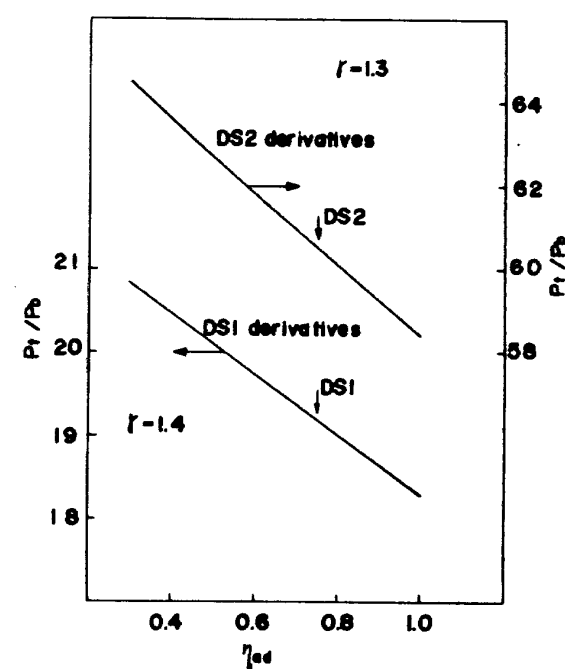


図 23 亜音速ディフューザ効率の効果

3.2 低圧室圧力比

表2に(37)式の再付着角度の相関を用いて計算した低圧室圧力比 $(P_c/P_t)_A$ を一次元理論(2)式から求めた値

$(P_c/P_t)_{OD}$ と Korst⁴⁾ の Criteria を用いて計算した値 $(P_c/P_t)_B$ を実験データ $(P_c/P_t)_{EX}$ と共に示す。ケース1~16は式の相関をおこなうときに使用したデータであり、17~21は似式の相関には用いなかつたデータである。実験値との完全な一致は得られていないが、一般的に一次元理論よりは実験値との一致が良くなつたと判断できる。特に A_D/A_{NE} が大きな場合には一次元理論よりもあきらかに改良されている。しかしながら、円錐ノズルに関しては、一次元理論は実験値と約±100%の範囲で一致しているので、スタート圧力比を求める計算(2.1.2節(2)項参照)においては一次元理論によって P_c/P_t を求めることはゆるされよう。Korstの基底圧理論による値は、 A_{NE}/A^* , θ_{NE} の変化に対する傾向は正しく見積るが、値そのものゝ実験値との一致は一次元理論よりも悪い。

表2ケース20および21は実際のロケットエンジンの燃焼試験のデータ¹⁷⁾であるが、似式によってほど満足すべき低圧室圧力比の予測が可能であることを示している。しかしながら、似式において比熱比が陽にはいっていないとはいひえ、相関をおこなうときに使用したデータが $\gamma = 1.4$ のものであるので、 $\gamma = 1.4$ 以外の値に対しては、さらに多くのデータとの比較によって似式の有効性を確かめる必要があろう。 $\theta_{NE} = 0^\circ$ について似式は無効であることが確かめられているので同様なことは θ_{NE} についてもいえる。

4. む す び

筆者らがおこなっているロケットエンジン高空性能試験用エゼクタの実験的研究の過程で使用した計算法のうち、セコンド・スロート・ディフューザの設計に用いることのできる方法について述べ、その問題点のいくつかを示した。これらの計算法は十分に満足すべきものではないが、その単純さの故に初期設計の段階では使用可能なものであり、

表2. 低圧室圧力比の計算と実験の比較

Case No.	γ	$\theta_{NE}(^\circ)$	$\frac{A_{NE}}{A^*}$	$\frac{A_D}{A^*}$	$(\frac{P_c}{P_t})_{EX}$	$(\frac{P_c}{P_t})_A$	$(\frac{P_c}{P_t})_{OD}$	$(\frac{P_c}{P_t})_B$	Ref
Correlation data									
1	1.4	1.5	9	1.6	8.40	2.44	3.64	2.98	12
2				2.5	1.62	1.45	1.89	1.95	
3				3.6	0.922	0.992	1.18	1.45	
4				4.9	0.686	0.731	0.713	1.08	
5		1.8	8.627	7.48	17.9	1.72	11.8	13.46	13
6			10.85	2.27	1.86	1.99	2.18	2.38	13
7			10.85	6.52	0.560	0.647	0.478	0.889	2
8			8.627	7.66	1.0	16.88	10.9	13.1	14
9			5.070	10.81	5.9	7.64	6.50	7.75	
10			10.85	2.83	1.9	1.98	2.10	2.32	
11			2.5	5.87	0.64	0.512	0.625	0.691	
12			8.627	21.45	3.4	8.64	2.86	4.79	
13			2.5	15.04	0.18	0.182	0.148	0.270	
14		1.5	4.285	46.58	1.3	1.22	0.767	1.98	
15				26.25	2.1	2.19	1.76	8.17	
16				11.85	5.2	5.67	5.67	6.54	
Non-correlation data									
17	1.4	1.5	2.5	35.4	0.686	0.548	1.14	0.775	3
18		1.5	10.78	35.4	0.798	0.904	1.14	1.26	3
19		15.8	10.69	15.21	2.35	2.47	8.98	2.94	8
20	1.26	8.86	26.0	36.39	0.94	0.717	1.87	0.84	17
21	1.26	15.	49.4	131.3	0.31	0.265	0.848	0.14	17

また、計算結果はモデル試験等の指針となり得るものであると筆者らは考えている。

デイフューザ性能のより良く、より一般的な予測をおこなうためには、任意のノズル形状について低圧室圧力比を実験的相関なしで正確に求める方法、セコンド・スロート斜め部圧力のより一般的な求め方などについてさらに研究がおこなわれなければならない。

引用文献

- 1) R. C. German, R. C. Bauer, and J. H. Panesci; Methods for Determining the Performance of Ejector-Diffuser Systems, *J. Spacecraft*, Vol. 3 (1966) pp. 193-200.
- 2) J. H. Panesci and R. C. German; An Analysis of Second-Throat Diffuser Performance for Zero-Secondary-Flow Ejector Systems, AEDC-TDR-63-249 (1963)
- 3) 宮島, 日下, 阿部, 鎌田, 植野, 佐藤; ロケット・エンジン高空性能試験用エゼクタの実験的研究
航技研報告 TR-449 (1976)
- 4) H. H. Korst; A Theory for Base Pressures in Transonic and Supersonic Flow, *J. Appl. Mech.*, Vol. 23 (1956) pp. 593-600.
- 5) M. Sirieix, J. Delery, and J. Mirande; Recherches Experimentales Fondamentales sur les Ecoulements Separés et Applications, ONERA T. P. 520 (1967)
- 6) A. H. Shapiro; The Dynamics and Thermodynamics of Compressible Fluid Flow, Vol. 1 (1953) Ronald Press.
- 7) W. L. Jones, H. G. Price, Jr., and C. F. Lorenzo; Experimental Study of Zero-Flow-Ejectors Using Gaseous Nitrogen, NASA TN D-203 (1960)
- 8) 宮島博他; 未発表実験データ
- 9) E. M. Landsbaum; Thrust of a Conical Nozzle, *ARS Journal*, Vol. 29 (1959) pp. 212-218.
- 10) M. Arens and E. Spiegler; Shock-Induced Boundary Layer Separation in Overexpanded Conical Exhaust Nozzles, *AIAA Journal*, Vol. 1 (1963) pp. 578-581.
- 11) W. L. Chow and A. L. Addy; Interaction between Primary and Secondary Streams of Supersonic Ejector Systems Vol. 2 (1964) pp. 686-695.
- 12) A. Fortini; Performance Investigation of a Nonpumping Rocket Ejector System for Altitude Simulation, NASA TN D-257 (1959)
- 13) R. C. Bauer and R. C. German; The Effect of Second Throat Geometry on the Performance of Ejectors without Induced Flow, AEDC-TN-61-138 (1961)
- 14) R. C. Bauer; Theoretical Base Pressure Analysis of Axisymmetric Ejectors without Induced Flow, AEDC-TDR-64-8 (1964)
- 15) J. Delery; Recollement d'un Jet Supersonique de Révolution sur une Paroi Cylindrique Coaxiale, La Recherche Aerospatiale, No. 104 (1965) pp. 15-20.
- 16) 毛呂明夫, 鈴木和雄; ロケット・プロペラントの理論性能—多項式近似式による表示—
航技研資料 TM-293 (1976)
- 17) 大塚, 鈴木, 石井, 山田, 宮島, 冠; 航技研ロケットエンジン高空性能試験設備について, 日本航空宇宙学会誌, 22巻(1974) pp. 508-518,
または, 航技研報告 TR-454 (1976)

付録 計算プログラム

以下にセコンド・スロート・ディフューザ性能計算プログラム(STD)および再付着角度によって低圧室圧力比を求めるプログラム(ZFE2)の概要を記述する。その詳細はプログラムリストとして示す。これらのプログラムにおいては、その構成および計算法を洗練されたものにする努力はほとんどはらわれておらず、また、開発段階や他の用途に使用したときに用いた、本資料の目的にはよけいな部分も多少含まれている。さらにまた、いくつかの関数およびサブルーチンはTOSBAC-8400システムのライブラリ・サブルーチンを用いている。

1. ディフューザ性能計算プログラム(STD)

1.1 プログラムの構成

STDのフローチャートを図A-1に示す。プログラムの構成およびサブルーチンの機能は次の通りである。

- (1) MAIN (STD)
- (2) SUBM2 (8)式の解を求める。
- (3) SUBM3 (1)式の解を求める。NONC50 および FEM3(X)を用いる。
- NONC50 ... 任意方程の根(この場合はFEM3(X)=0)の根をニュートンラブソン法で求めるライブラリサブルーチン FEM3(X)..... (1)式で $X = M_3$ とおいた関数
- (5) O B S G 斜め衝撃波の超音速の解を求める。 NONC50 および FUN(X)を用いる。
- FUN(X)..... $\tan \sigma$ (σ は衝撃波の角度)を前面マッハ数 M_1 、と流れの角度変化 δ であらわした関数。
- (6) CPJSBR ... 一定圧力のジェット境界がディフューザ壁面と衝突する点を求める。 STATC1, PMSBR1, および特性曲線法ユニット・プロセスBPS1, FPS, APS1, APS2を用いる。
- STATC1 ... フリージェット計算の出発点を、ノズル出口の等マッハ線を分割してあたえる。
- PMSBR1 ... ノズル出口角部のプラントル・マイヤ角を細分割し、フリージェット計算に角部の条件をあたえる。
- BPS1..... 一定圧力のジェット境界上の点の位置と速度ベクトルを求める。
- FPS..... フィールド・ポイントの位置と速度ベクトルを求める。

APS1 中心軸上の点の位置と速度ベクトルを求める。

APS2 軸上の点が既知の場合のユニットプロセス

なお、STATC1-APS2までのサブルーチンは、ZFE2にも共通である。

1.2 入力データ

STDの入力データは1ケース8枚のカード入力であり、計算の停止にはデータの最後に1カラム目からENDとパンチされたカードを追加する。1ケースの入力のフォーマットおよびデータの説明は次の通りである。入力の順は(1), (2).....で示される。

1枚目 (A8) ケース名

2枚目 (8F10.5, 8I10)

(1) GAMMA..... 比熱比

(2) AR ノズル開口面積比 A_{NE}/A^*

(3) THNE ノズル出口半開角 θ_{NE} , 度

(4) IDT 0 : 長いセコンドスロート

1 : 一定断面積ディフューザ

2 : 短いセコンドスロート

5 : 限界断面積比を求める

(5) IW2 1 : ジェット境界の出力、通常0にする。

(6) IW3 1 : $\Sigma_1^2 F / m \sqrt{RT_t}$ の各項および、斜め衝撃波の計算結果を出力する。
 $F/m \sqrt{RT_t}$ 等がいらないときは2にする。

3枚目 (8F10.5)

(1) AD A_D/A^*

(2) AST A_{ST}/A^*

(3) THEST θ_{ST} , 度

(4) XST X_R/D_D

(5) ELDST $(L/D)_{ST}$

(6) CF C_f

(7) AEX A_E/A^* , 短いセコンドスロートの場合のみ計算に使用する。

(8) AITA 亜音速ディフューザの断熱効率。
長いセコンド・スロートおよび一定断面積の場合にのみ用いる。AITAを入力しない場合は0.75として計算する。

1.3 出力

STDの出力はIDT, IW2, IW3の値によって異なるが、 $IDT=1$, $IW2=0$, $IW3=2$ の場合に出力される値は次の通りである。他の場合もこれと同様である。

(1) 入力データ

(2) 垂直衝撃波理論

MNE 一次元ノズル出口マッハ数

PT/PNE ... P_t / P_{NE}

MDO 一次元ディフューザ入口マッハ数

PT/PC P_t / P_c

(PT/PB) ... 最小スタート圧力比

(PT/PB)OP...最小操作圧力比

(AST/AD)L...限界収縮断面積比

(3) $\Sigma_1^2 F / m \sqrt{RT_t}$, (2)式左辺の値

(4) 長いセコンド・スロート

MNESP M_{SP} , 半径流れのノズル出口マッハ数

MJB ジェット境界のマッハ数

MSTIN..... セコンド・スロート入口マッハ数
 M_2 MOUT セコンド・スロート出口マッハ数
 M_3 PT/PN..... M_{SP} に相当する圧力比

PC/PT..... 低圧室圧力比

PT/PB..... スタート圧力比

(5) 亜音速ディフューザ付のスタート圧力比

2. 再付着角度による低圧室圧力比(ZFE2)

2.1 プログラムの構成

ZFE2 のフローチャートを図A-2に示す。プログラムの構成およびサブルーチンの機能は次の通りである。

(1) MAIN (ZFE2)

(2) LSISUB j 流線がディフューザ壁面と衝突する点における再付着角度を求める。STATC1, PMSBR1, BPS1, FPS, APS1, APS2 (付録1.1節参照) の外にDVS を用いる。DVS j 流線の位置 (η_m, η_j) を(3)式および(4)式を用いて求める。SPEQ05, EINT1, EINT2,
INTE01, FINT1, および
FINT2 を用いる。

SPEQ05 ... 次のようなライブラリ関数

$$E(x) = \frac{1}{\sqrt{2\pi}} \int_0^x e^{-\frac{t^2}{2}} dt$$

EINT1 $I_1(C_2; \eta) = \int_{-\infty}^{\eta} \frac{\varphi d\eta}{1 - C_2^2 \varphi^2}$

の計算をおこなう。

$$EINT2 I_2(C_2; \eta) = \int_{-\infty}^{\eta} \frac{\varphi^2 d\eta}{1 - C_2^2 \varphi^2}$$

の計算をおこなう。

INTE01 ... シンプソン法による積分のライブラリ・サブルーチン, 被積分関数を外部関数としてあたえる。

$$FINT1 f_1(\eta) = \frac{\varphi}{1 - C_2^2 \varphi^2}$$

$$FINT2 f_2(\eta) = \frac{\varphi^2}{1 - C_2^2 \varphi^2}$$

2.2 入力データ

ZFE2 の入力は1ケース1枚のカード入力であり, 計算の停止はデータの最後に1カラム目からENDとパンチされたカードを追加することによっておこなわれる。入力フォーマット, 入力順, および, データの説明は次の通りである。

フォーマット (A8, 3I4, 4F10.6, E12.5, I4)

(1) CASE ケース名

(2) N STATC1 の分割数 通常21とする。

(3) IDT 0にする。

(4) IW 0にする。1にするとジェット境界マッハ数のイタレイションが出力される。

(5) G 比熱比

(6) BET θ_{NE} , ノズル半開角(7) ARO ノズル開口面積比 A_{NE}/A^*
 A_D/A^* (8) PISEX ... 0とする。 P_c/P_t の実験値がある場合は入力しても良いが計算には関係しない。(9) IW1 通常0とする。1にすると j 流線の形状が出力される。

2.3 出力

(1) 入力データ

(2) j 流線の壁面の衝突点XJ X_J / r_{NE} , X_J はノズル出口面からの軸方向の距離, r_{NE} はノズル出口の半径である。XJDD X_J / D_D THET3 ψ , 中心線の下方で計算するので負の値になる。S S / r_{NE} , S は衝突点までの非粘性境界の長さ。MPJ j 流線のマッハ数

- M2A 非粘性ジェット境界のマッハ数
P1S/P0P .. P_c/P_t , 低圧室圧力比
KK イタレイション回数

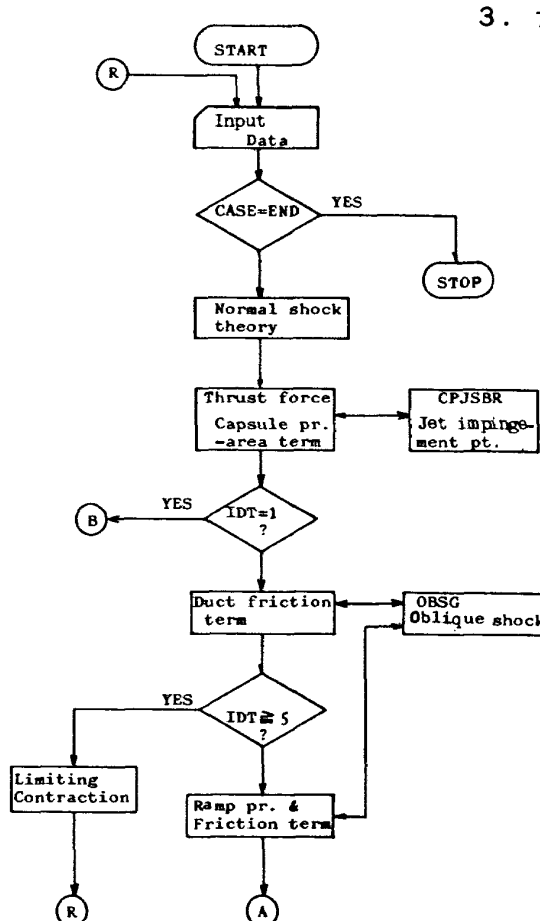


図 A-1 STD フロー チャート

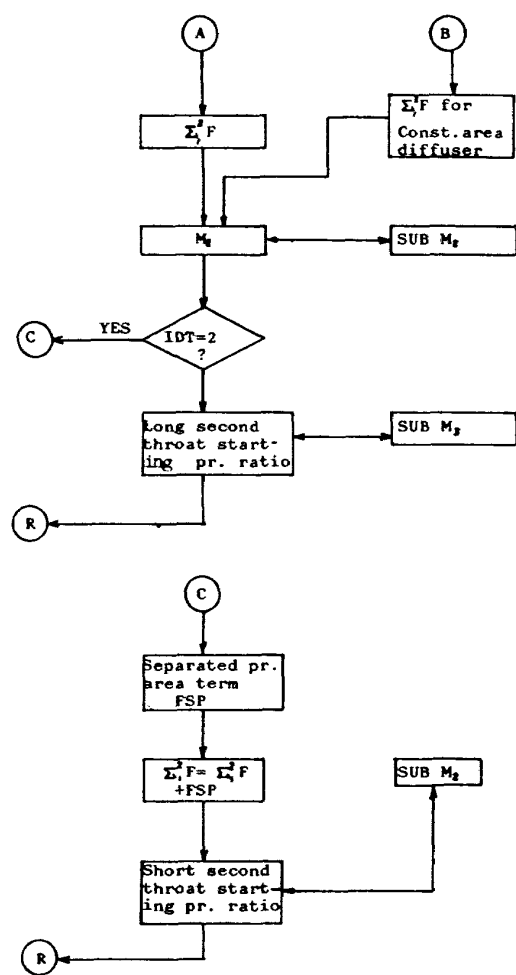


図 A-1 (つづき)

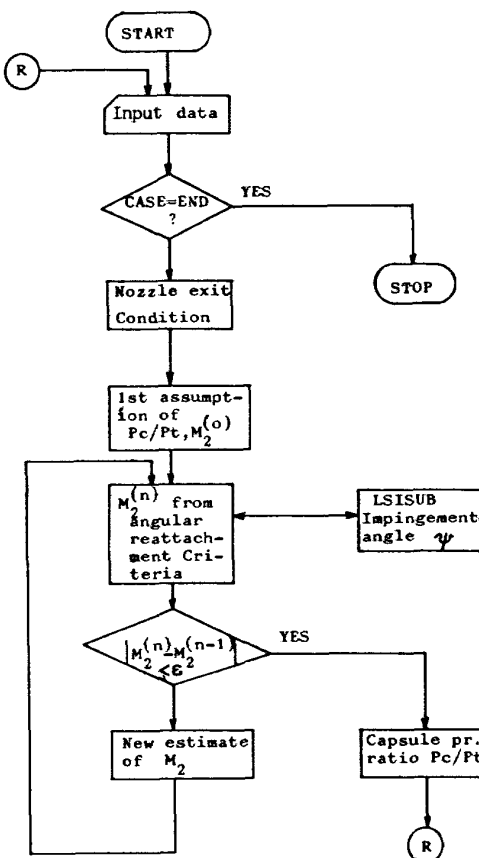


図 A-2 ZFE2 フロー チャート

4. プログラムリスト

```

***** SECOND THROAT DIFFUSER STARTING PROBLEM (STD) ****
C   ONE DIMENSIONAL TREATMENT EXCEPT FREE JET CALCULATION
C
C   SEE GERMAN,R,C.,BAUER,R,C.,AND PANESCI,J,H,
C   JOURNAL OF SPACECRAFT, VOL 3, NO,2, P,P, 193-200 (1966) ****
C
C*** INPUT PARAMETERS
C
C   GAMMA=SPECIFIC HEAT RATIO
C   AR = AREA RATIO OF PRIMARY NOZZLE, ANE/A
C   THNE = NOZZLE EXIT HALF ANGLE, GIVE A POSITIVE VALUE IN DEGREE
C   AD = DIFFUSE INLET AREA/NOZZLE THROAT AREA
C   AST = SECOND THROAT AREA/NOZZLE THROAT AREA
C   THEST= SECOND THROAT RAMP ANGLE, GIVE A POSITIVE VALUE IN DEGREE
C   XST = DIFFUSER LENGTH UP TO SECOND THROAT/DIFF, INLET DIAMETER
C       FOR THE CASE OF CONSTANT DIAMETER, XST IS THE DIFFUSER
C       LENGTH/ INLET DIAMETER
C   ELDST= SECOND THROAT LENGTH/SECOND THROAT DIAMETER
C   CF = FRICTION COEFFICIENT
C   AEX = DIFFUSER EXIT AREA/NOZZLE THROAT AREA
C
C*** CONTROL PARAMETERS
C
C   IDT : FOR IDT=0, SECOND THROAT DIFFUSER AND
C         FOR IDT=1, CONSTAN DIAMETER DIFFUSER,
C             IDT=2, SHORT SECOND THROAT,
C             IDT=5, PROBLEM TO DETERMINE LIMITING CONTRACTION
C   IW2 : DETAILED OUTPUT OF FREE JET CALCULATION FOR TW=1
C   IW3 : FOR IW3=1, DETAILED OUTPUT OF FOCE TFRMS
C
C*** FUNCTION STATEMENT
1   PRAF(A,B)=(1.+0.5*(B+1.)*A**2)**(B/(B+1.))
2   FM(A,B,C)=C*A*((2.+(B+1.))*(1.+0.5*(H-1.)*A**2))**((0.5*(B+1.))/(
3   1           (B+1.)))
4   FD(A,B,C)=C-(2.+(B+1.))*((0.5*(B+1.)/(H-1.))*(0.5*(B+1.)*A)
5   1           *(1.+0.5*(B+1.)*A**2))**((3.-R)/(R-1.)/2.)
6   SPRAF(A,B)=(2.+B*(B+1.))*A**2*(B+1.)/(B+1.)
7   EMRTF(A,B)=A*SQRT(B*(1.+0.5*(B+1.)*A**2))
8   GMRTF(U)=SQRT(B*(2.+(B+1.))**((H+1.)/(B+1.)))
9   TAN(C) =SIN(C)/COS(C)
10  EMACHF(A,B)=SQRT(((2.+(A**2))/(B+1.))/(1.-(H-1.)/(H+1.)*A**2))
11  EMASTF(A,B)=SQRT((1.5*(B+1.)*A**2)/(1.+0.5*(B+1.)*A**2))
12
C*** DIMENSION PI(4)
C
C*** READ INPUT PARAMETERS
C
13  2 READ(5,299) CASE
14  299 FORMAT(A8)
15  IF(CASE,EQ,8HEND) GO TO 800
16  HEAD15,3001 GAMMA,AR,THNE,IDT,IW2,IW3
17  300 FORMAT(3F10.5,S10)
18  HEAD15,3201 AD,AST,THEST,XST,ELDST,CF,AEX,AITA
19  320 FORMAT(BF10.5)
20  WRITE(6,298) CASE
21  298 FORMAT(1H1//5X,***** SECOND THROAT DIFFUSER PERFORMANCE****)
22  1           /10X,A8)
23  2         WRITE(6,500) GAMMA,AR,THNE,AD,AST,THEST,XST,ELDST,CF
24  500 FORMAT(1H, //6X6HGMMA=E12.5,4X7HANE/A**E12.5,5X6HTHENE=E12.5,/
25  1           6X6HAD/A**E12.5,4X7HAST/A**E12.5,
26  25X6HTHEST=E12.5,5X6HXST/D=E12.5,/
27  3           5X8H(L/DIST=E12.5,5X3HCF=E12.5,//)
28
C*** NORMAL SHOCK THEORY
C
29  BM=4,
30  IF(AR,GE,80.) BM=6,5
31  DBN=FM(BM,GAMMA,AR)/FD(BM,GAMMA,AR)
32  IF(ABS(DBN),LE,0.0001) GO TO 6
33  BM=BM+DM
34  GO TO 5
35  EHM1P=BM
36  BM=6,5
37  DBN=FM(BM,GAMMA,AD)/FD(BM,GAMMA,AD)
38  IF(ABS(DBN),LE,0.0001) GO TO 8
39  HME=BM+DM
40  GO TO 7
41  EMD0=BM
42  PTN=PRAF(EHM1P,GAMMA)
43  PTD=PRAF(EMD0,GAMMA)
44  PBS=SPRAF(EMD0,GAMMA)
45  PTB=PTD/PBS
46  WRITE(6,520) EHM1P,PTN,EMD0,PTD,PTB
47  520 FORMAT(1H,5X,**** NORMAL SHOCK THEORY ****)
48  1           6X4HMMN=E12.5,5X7HPT/PNE=E12.5/
49  2           6X4HMD0=E12.5,5X7HPT/PC *E12.5,5X9H(PT/PB)S=E12.5//)
50  IF(IDT,EQ,1) GO TO 40
51  IF(IDT,EQ,5) GO TO 12
52  C* OPERATING LIMIT
53  BM=6,5
54  DBN=FM(BM,GAMMA,AST)/FD(BM,GAMMA,AST)
55  IF(ABS(DBN),LE,0.0001) GO TO 10
56  BM=BM+DM
57  GO TO 9
58  10 EMD0=BM
59  PTS=PRAF(EMD0,GAMMA)
60  PBS=SPRAF(EMD0,GAMMA)
61  PTBOP=PTS/PBS
62  C* CONTRACTION LIMIT
63  12 PTYX=(0.5*(GAMMA+1.)*EMD0**2)**(GAMMA/(GAMMA+1.))/PRAF(EMD0,GAMMA)
64  1           /SPRAF(EMD0,GAMMA)**(1./(GAMMA-1.))
65  ASTDL=1./AD/PTYX
66  ASTD=AST/AD
67  WRITF(1,540) ASTD,PTBOP,ASTDL

```

```

56      540 FORMAT(1H ,5X,'OPERATING LIMIT',5X7HAST/AD=E12.5,5X10H(PT/PB)OP=
      1           E12.5/6X,'NORMAL SHOCK CONTRACTION LIMIT (AST/AD)='
      2           E12.5//)
C
C***  LONG SECOND THROAT THEORY ( GERMAN ET AL )
C
C*      THRUST FORCE AT NOZZLE EXIT
C
57      40 BETA=THNE/57.2957795
58      ARSP=2./(1.+COS(BETA))=AR
59      BM=6.5
60      42 DBM=F(BM,GAMMA,ARSP)/FD(BM,GAMMA,ARSP)
61      IF(ABS(DBM).LE.0.0001) GO TO 44
62      BM=BM+DBM
63      GO TO 42
64      44 EM1P=BM
65      P1P=1./PRAF(EM1P,GAMMA)
66      FNEX=AR*P1P*(1.+GAMMA*EM1P*2.)/GMRTTF(GAMMA)
67      IF(IW3,NE,1) GO TO 60
68      WRITE(6,560) EM1P,FNEX
69      560 FORMAT(1H ,5X,'** THRUST FORCE TERM **/')
      1           6X4HMSP=E12.5,74X5HFNEX=E12.5 //)
C
C*      CELL PRESSURE AREA TERM
C
70      60 NET =BETA
71      HW=SORT(AD/AR)
72      P1S=1./PTD
73      EMS1P=EMASTF(EM1P,GAMMA)
74      CALL CPJSRR(GAMMA,BET,RW,EMS1P,P1S,PI,IW2)
75      XIR=P1(1)
76      XID=XIR*SORT(AR/AD)/2.
77      IF((XST-XID).GT.0.1 GO TO 62
78      WRITE(6,565)
79      565 FORMAT(1H ,5X,'*****JET BOUNDARY IMPINGES ON THE SECOND THROAT
      1           RAMP *****')
      GO TO 2
80      62 EM2A=EMACHF(PI(3),GAMMA)
81      THETI=PI(4)
82      FCP=P1S*(AD-AR)/GMRTTF(GAMMA)
83      THFI=PI(4)*57.2957795
84      IF(IW3,NE,1) GO TO 80
85      WRITE(6,570) EM2A,P1S,XID,THETI,FCP
86      570 FORMAT(1H ,5X,'** CELL PRESSURE AREA TERM **/')
      1           6X4HM2A=E12.5,5X5HP1S =E12.5,5X6HXI/DD=E12.5,5X6HTHETI=E12.5,
      2           7X4HFCP=E12.5//)
88      IF(IDT,EO,1)GO TO 180
C
C*      DUCT FRICTION TERM
C
89      80 THTW=0.
90      DELT=THTW-THETI
91      CALL OBSG(GAMMA,DELT,PDDO,EMDO,EMD,IW3,2)
92      IF(EMD,LE,1.) GO TO 2
93      PDT =PDDO/PRAF(EMDO,GAMMA)
94      FDF=2.*GAMMA*CF*PDT=EMD=2*AD*(XST-XID)/GMRTTF(GAMMA)
95      IF(IW3,NE,1) GO TO 100
96      WRITE(6,580) EMDO,PDT,FDF
97      580 FORMAT(1H ,5X,'** DUCT FRICTION TERM **/')
      1           6X6HMACHD=E12.5,5X6HDP/PT=E12.5,50X4HDF=E12.5//)
C
C*      RAMP PRESSURE AND RAMP FRICTION TERM
C
98      100 ASTD=AST/AD
99      IF(IDT,GE,5) GO TO 220
100     XNDD=SORT(AR /AD)/(2.*TAN(BETA))
101     THST=THETI/57.2957795
102     THTEMBATAN(SORT(ASTD+1.)/2.828427*(XNDD*XST)+(1.41421356-
      1           SQRT(ASTD+1.)) /TAN(THST)))
103     DELT =THETW-THST
104     CALL OBSG(GAMMA,DELT,PRDO,EMDO,EMR,IW3,2)
105     IF(EMR,LE,1.) GO TO 2
106     PRT=PRDO/PRAF(EMDO,GAMMA)
107     FRP =PRT*(AD-AST)/GMRTTF(GAMMA)
108     FRF =0.5*GAMMA*CF*PRT=EMR=2*(AD-AST)/GMRTTF(GAMMA)/TAN(THST)
109     IF(IW3,NE,1) GO TO 120
110     DELTA=DELT*57.2957795
111     WRITE(6,590) EMR,PRT, DELTA,FRP,FRF
112     590 FORMAT(1H ,5X,'** RAMP PRESSURE AND FRICTION TERM **/')
      1           6X6HMRAFP=E12.5,5X6HPR/PT=E12.5,5X6HTHETA=E12.5,27X4HFRP=E12.5/
      2           97X4HFRF=E12.5//)
C
C*      TOTAL FORCE UP TO SECOND THROAT INLET SIGMA F 2-1
C
113     120 SFORCE=FNEX+FCP+FDF+FRP+FRF
114     WRITE(6,600) SFORCE
115     600 FORMAT(1H ,5X,'FORCE TERM DEVIDED BY MASS=SQRT(N*T)=',E12.5//)
C
C*      CALCULATION OF M2 AND M3
C
116     140 CALL SUBM2(GAMMA,SFORCE,EM2)
117     IF(EM2,EO,0.1)GO TO 2
118     IF(IDT,EQ,2) GO TO 190
119     CALL SUBM3(GAMMA,CF,ELDST,SFORCE,EM2,EM3)
120     IF(EM3,EQ,0.1)GO TO 2
121     PTST=(2./(GAMMA+1.))*0.5*(GAMMA+1.)/(GAMMA+1.)/(AST=EMRTF
      1           (EM3,GAMMA))=SQRT(GAMMA)
122     PTBST =1./PTST
123     PTC=1./P1S
124     PTN=1./P1P
125     PTD=1./PTD
C
C*      WITH SUBSONIC DIFFUSER
126     IF(AITA,EO,0.)AITA=0.75
127     ITA=AITA*100.
128     PTEX=PTBST*(1.-0.5*(GAMMA-1.)*AITA*EM3*2.)*(GAMMA/(GAMMA-1.))
129     WRITE(6,610) EM1P,EM2A,EM3,PTN,P1S,PTBST,ITA,PTEX
130     610 FORMAT(1H , 6X,'*** LONG SECOND THROAT THEORY ***')
      1           6X6HMNESP=E12.5,5X6HMJB =E12.5,5X6HMSTIN=E12.5,5X6HMOUT =E12.5
      2           6X6HPT/PN=E12.5,5X6HPC/PT=E12.5,5X6HPT/PB=E12.5/
      3           6X,'SUB. DIFF. WITH',ITAB,'% EFFICIENCY',5X6HPT/PB=E12.5//)

```

```

181      90 TO 2
182      C
183      C**      CONSTANT AREA DIFFUSER
184      C
185      160 SFORCE=FNE(X+FCP
186      WRITE(6,600)SFORCE
187      ELDST=XST-XID
188      GO TO 140
189      C
190      C**      SHORT SECOND THROAT THEORY
191      C
192      190 EM2C=EM2*0.56/SQRT(1.+3432*(GAMMA=1.)*EM2**2)
193      IF(EM2C.GT.1.) GO TO 192
194      PSP2=(1.+0.5*(GAMMA=1.)*EM2**2)/(1.+3432*(GAMMA=1.)*EM2**2)
195      1   =(GAMMA/(GAMMA=1.))
196      GO TO 194
197      192 PSP2=(1.1568*(GAMMA=1.)*EM2**2)**(GAMMA/(GAMMA=1.))/(1.+3432*
198      1   *(GAMMA=1.)*EM2**2)/(1.(GAMMA=1.)*.3136-(GAMMA=1.)*2/(GAMMA
199      2   =1.)*EM2**2*0.5*(GAMMA=1.)/(GAMMA=1.))**((1.-(GAMMA=1.))
200      194 P2T=(2./(GAMMA=1.))**((0.5*(GAMMA=1.)/(GAMMA=1.))/(AST*EMRTF
201      1   *(EM2/GAMMA))=SORT(GAMMA)
202      PST=PSP2*P2T
203      FSP=PST*(AEX*AST)/GMRTTF(GAMMA)
204      IF(IW3,NE,1) GO TO 196
205      WRITE(6,620) PST,FSP
206      620 FORMAT(1H ,6X,'*SEPARATION PRESSURE AREA TERM ***/'
207      1   6X6HPS/PT=E12,5,73X4HFSP=E12,5//)
208      196 SFORCE=SFORCE+FSP
209      WRITE(6,600) SFORCE
210      CALL SUBM2(GAMMA,SFORCE,EM3)
211      IF(EM3,EQ,0.) GO TO 2
212      P3TST=(2./(GAMMA=1.))**((0.5*(GAMMA=1.)/(GAMMA=1.))/(AEX*EMRTF
213      1   *(EM3/GAMMA))=SORT(GAMMA)
214      PT3ST=1./P3TST
215      PTS1,/PST
216      WRITE(6,630) EM1P,EM2A,EM2,EM3,PTN,    P1S,PTS,PT3ST
217      630 FORMAT(1H ,6X,'*** SHORT SECOND THROAT THEORY ***'/
218      1   6X6HNESP=E12,5,5X6HMJB =E12,5,5X6HMSTIN=E12,5,5X6HMOUT =E12,5
219      2   /6X6HPT/PNHE12,5,5X6HPC/PT=E12,5,5X6HPT/PS=E12,5,5X6HPT/P3=E12,5
220      3   //)
221      GO TO 2
222      C
223      C**      SECOND THROAT CONTRACTION LIMIT
224      C
225      220 CONTINUE
226      104 ASTD=ASTDL
227      DAS=0.05
228      105 ASTD=ASTD*DAS
229      DELT=.35/.57.2957795
230      CALL OBSG(GAMMA,DELT,PRD0,EMD0,EMR,IW3,2)
231      IF(EMR,LE,1.) GO TO 2
232      PRY=PRD0/PRAF(EMD0,GAMMA)
233      ASTRASTD=AD
234      FRP=PRY*(AD-AST)/GMRTTF(GAMMA)
235      FNE(X+AD+P1S*(1.+GAMMA*EMD0**2))/GMRTTF(GAMMA)
236      SFORCE=FNE(X+FRP
237      SFLIM=(1.+GAMMA)/SQRT(GAMMA*(1.+0.5*(GAMMA=1.)))
238      IF(IDT,EQ,0.) GO TO 250
239      IF(SFORCE=SFLIM,GT,0.) GO TO 222
240      221 ASTD=ASTD+DAS
241      DAS=0.5*DAS
242      GO TO 105
243      222 CALL SUBM2(GAMMA,SFORCE,EM2)
244      IF(EM2,EQ,0.) GO TO 2
245      CALL SUBM3(GAMMA,CF,ELDST,SFORCE,EM2,EM3)
246      IF(EM3,NE,0.) GO TO 105
247      IF(DAS,LE,0.0001) GO TO 224
248      GO TO 221
249      C
250      224 WRITE(6,632) ASTD
251      632 FORMAT(1H ,6X,'LONG THROAT CONTRACTION LIMIT (AST/AD)= ',E12,5/)
252      IDT=6
253      GO TO 104
254      250 SF=SFORCE
255      IF(ABS(SF-SFLIM),LE,0.0001) GO TO 260
256      IF(SF=SFLIM,LT,0.) GO TO 221
257      GO TO 105
258      260 WRITE(6,634) ASTD
259      634 FORMAT(1H ,6X,'SHORT THROAT CONTRACTION LIMIT (AST/AD)= ',E12,5/)
260      GO TO 2
261      C
262      800 STOP
263      END

```

```

***** SECOND THROAT INLET MACH NUMBER SUBROUTINE *****
1      SUBROUTINE SUBM2(G,SF,EM2)
C**
2      AF=SF**2
3      AFLIN2=(G+1.)/G
4      IF(AF.LT.AFLIN) GO TO 60
5      A=(AF**2.)/(G+AF*(G+1./2.))
6      B1_1=(G+AF*(G+1.) /2.)/1
7      EN2=(A-SQRT(A**2-4.*B1_1))/2.
8      EM2=SQRT(EM2)
9      RETURN
C**
10     60 WRITE(6,50)
11     50 FORMAT(1H ,3X,'***** SUBM2 ERROR, NO SOLUTION , CHECK SFORCE ',1
12           'VALUE'//)
13     EM2=0.
14     RETURN
15     END

```

```

***** SECOND THROAT EXIT MACH NUMBER SUBROUTINE *****
1      SUBROUTINE SUBM3(G,CF,ELD,SF,EM2,EM3)
2      EXTERNAL FEM3
3      COMMON//COEFM3/ A1,B1,C1,D1,E1
4      A1=G
5      B1=CF
6      C1=ELD
7      D1=EM2
8      E1=SF
9      CALL NONC50(FEM3,EM3,0,2,0,0,1,0,1,E=5,I)
10     IF(I,E0,4) GO TO 10
11     IF(I,E0,5) GO TO 20
12     RETURN
13     10 WRITE(6,110)
14     110 FORMAT(1H ,3X,'***** SUBM3 CONVERSION ERROR *****'//)
15     EM3=0.
16     RETURN
17     20 WRITE(6,120)
18     120 FORMAT(1H ,3X,'***** SUBM3 ERROR, NO SUBSONIC SOLUTION ***'//)
19     EM3=0.
20     RETURN
21     END

```

```

***** FUNCTION FOR THE SOLN. OF M3 *****
1      FUNCTION FEM3(X)
2      COMMON//COEFM3/ A1,B1,C1,D1,E1
C      G=A1
C      CF=B1
C      ELD=C1
C      EM2=D1
C      SFORCE=E1
3      FEM3=SQRT(2.*A1/(A1-1.))+2.*B1*C1/(X*D1)*(SQRT(2./(A1-1.)*X**2)
1      -SQRT(2./(A1-1.)*D1**2))*((1.+A1*X**2)/(X*SQRT(A1*(1.+0.5*
2      (A1-1.)*X**2)))-E1
4      RETURN
5      END

```

```

***** OBLIQUE SHOCK SUBROUTINE *****

1      SUBROUTINE OBSIG(DEL,P21,EM1,EM2,IW,J)
2      IW IS OUTPUT-CONTROL PARAMETER, IW=1 OUTPUT OF OBS
3      J IDENTIFIES THE PROBLEM, IF J=1,EM1,EM2 ARE CALCULATED FOR GIVEN
4      DELTA AND P21 AND IF J=2,P21 AND EM2 ARE CALCULATED FOR GIVEN
5      DELTA AND EM1
6      *** THE SOLUTION IS FOR SUPERSONIC ROOT
7      EXTERNAL FUN
8      TAN(A)*SIN(A)/COS(A)
9      COMMON/CDEF / A,B,C
10     DELT =DEL*57.295779
11     IF(J,EQ,1) GO TO 60
12     C* FOR GIVEN EM1
13     A1=EM1**2
14     B1=TAN(DEL)
15     C1=(G+1.)/(G-1.)
16     A2=((C1+1.)*B1**2+A1*B1**2)
17     A =((C1+1.)*B1*A1*(C1-1.))/A2
18     B =((C1+1.)*B1**2+A1*B1**2*C1)/A2
19     C =((C1+1.)*B1)/A2
20     *** SOLUTION BY NEWTON-RAPHSON METHOD FOR THE ROOT OF TAN(SIGMA)
21     BU IS THE UPPER BOUNDARY OF PROBABLE ROOT
22     BU= 2.7
23     GS= 0.1
24     CALL NDMCS0(FUN,X,GS,0,0,BU,1,E=5.1,E=5,I)
25     IF(I,EQ,4) GO TO 10
26     IF(I,EQ,5) GO TO 20
27     SIG =ATAN(X)
28     R021=X/TAN(SIG +DEL)
29     P21 =(C1=R021+1.)/(C1=R021)
30     EM2 =(1./P21+1.)/(1.=R021)*(SIN(SIG +DEL))**2
31     EM2 =SQT(EM2)
32     IF(EM2,LT,1.) GO TO 30
33     IF(IW,NE,1) GO TO 5
34     SIGN =SIG*57.295779
35     WRITE(6,100) DELT ,SIGN ,P21,R021,EM1,EM2
36     100 FORMAT(1H ,3X,'OBLIQUE SHOCK SUBR'
37     1   6X6HDELT=A12.5,5X6HSIGMA=E12.5,5X6HP2/P1=E12.5,5X6HR02/R01=
38     2   E12.5/6X6HMACH1=E12.5,5X6HMACH2=E12.5//)
39     5 RETURN
40     10 WRITE(6,110) DELT ,EM1
41     110 FORMAT(1H ,3X,'***** OBS ERROR*** CONVERSION FAILURE! .5X6HDELT
42     1=E12.5,5X6HMACH1=E12.5//)
43     EM2=0.
44     RETURN
45     20 WRITE(6,120) DELT ,EM1,GS,BU
46     120 FORMAT(1H ,3X,'***** OBS ERROR, NO SOLUTION IN THE SPECIFIED
47     1   REGION',5X6HDELT=A12.5,5X6HMACH1=E12.5/
48     1   6X6HGS=E12.5,5X6HBU=E12.5//)
49     EM2=0.
50     RETURN
51     30 WRITE(6,130) DELT ,EM1
52     130 FORMAT(1H ,3X,'***** OBS ERROR ,NO SUPERSONIC SOLN **',
53     1   5X6HDELT=A12.5,5X6HMACH1=E12.5//)
54     EM2=0.
55     RETURN
56
57     C* SOLUTION FOR GIVEN P21 AND DELTA
58
59     60 R021=(P21*(G+1.)/(G+1.)*1.)/(G+1.)/(G-1.)*P21)
60     B8=TAN(DEL)
61     DET=(R021-1.)**2-4.*R021*B8**2-
62     IF(DET,LT,0.) GO TO 40
63     X1=((R021+1.)*SQT(DET))/(2.*B8)
64     SIG=ATAN(X1)
65     EM1=(P21-1.)/(G*SIN(SIG)**2*(1.-1./R021))
66     EM1=SQT(EM1)
67     EM2=(1./P21+1.)/(1.=R021)*(SIN(SIG+DEL))**2
68     EM2=SQT(EM2)
69     GO TO 80
70     40 WRITE(6,140) DELT,P21
71     140 FORMAT(1H ,3X,'***** OBS ERROR,NO SOLUTION!,5X6HDELT=A12.5,
72     15X6HP2/P1=E12.5//)
73     EM1=0.
74     RETURN
75
76     END

***** FUNCTION FOR THE SOLN OF OBLIQUE SHOCK *****
1      FUNCTION FUN(X)
2      COMMON /CDEF / A,B,C
3      FUN=X**3+A*X**2+B*X+C
4      RETURN
5      END

```

```

1      C***** CONSTANT PRESSURE JET BOUNDARY SUBROUTINE *****
2      SUBROUTINE CPJSBR(GAMMAP,BETA,RW,EMS1P,P1,IW)
3      C** P1(2) IS FOR THE LENGTH OF JET
4      C** IW IS OUTPUT CONTROL PARAMETER, IF IW=1, JET BOUNDARY WILL BE
5      CONT PRINTED OUT.
6      C** IWF IS FLOW FIELD OUTPUT CONTROL PARAMETER, IF IWF=1, JET FLOW
7      C FIELD WILL BE PRINTED OUT.
8      C      EMASRTF(A,B)=SORT((1.5*(B+1.)*A**2)/(1.+5*(B+1.)*A**2))
9      C      EMACHF(A,B)=SORT((1.2*(A**2))/(B+1.)/(1.+(B+1.)/(B+1.))*A**2)
10     C      PRTOF(A,B)=(1.-(B+1.)/(B+1.))*A**2*B/(B+1.)
11     C      ARATO(A,B)=(1.2/(B+1.))*((1.+5*(B+1.)*A**2)**0.5*(B+1.))/(
12     C          (B+1.))**0.5
13     C      DIMENSION PMB(100,4,30),P0(4),P1(4),P2(4),P3(4),PI(4)
14     C      IWF=1
15     C      N=15
16     C      EMS1P=EMACHF(EMS1P,GAMMAP)
17     C*** STARTING CONDITION FOR CONICAL NOZZLE
18     CALL STATCS(EMS1P,BETA,PMB,N)
19     CALL PMSBR1(GAMMAP,EMS1P,P1S,BETA,K,N,PMB)
20     K1=N+K
21     PPM=57.2957795*PMB(K1,4,1)
22     EMSJB=PMB(K1,3,1)
23     EMJB=EMACHF(EMSJB,GAMMAP)
24     IF(IW.NE.1) GO TO 199
25     WRITE(6,42) PMB(K1,1,1),PMB(K1,2,1),PMB(K1,3,1),PPM,P1S,EMJB
26     42 FORMAT(1H ,*PRANDTL-MEYER*/6X,*X0=1,F8.5,X,*R0=1,F8.5,X,
27     1      *NSTAR=*,F8.5,X,*THETA=*,F9.5,X*4HP1S=E12.5,
28     2      5X5HMACH=E12.5//)
29     59 FORMAT(1H ,*CONSTANT PRESSURE JET FROM A CONICAL NOZZLE*//,
30     1      1H ,10X,2HX3,11X,2HR3,11X,2HM3,8X,5HTHET3//)
31     C*** CALCULATION UP TO THE AXIS POINT
32     199 CONTINUE
33     S=0
34     10 NM1=N-1
35     DO 5 I=2,NM1
36     J1=N+1-I
37     J2=K1+I-I-2
38     14 DO 6 J=J1,J2
39     DO 7 L=1,4
40     P1(L)=PMB(J,L,I)
41     P2(L)=PMB(J+1,L,I+1)
42     CALL FPS(GAMMAP,P1,P2,P3)
43     IF(P3(1).GE.500.) GO TO 800
44     DO 8 L=1,4
45     8 PMB(J+1,L,I)=P3(L)
46     6 CONTINUE
47     DO 9 L=1,4
48     P0(L)=PMB(J2+1,L,I-1)
49     9 P1(L)=PMB(J2+1,L,I)
50     CALL BPS1(GAMMAP,P0,P1,P3)
51     IF(P3(1).GE.500.) GO TO 800
52     DS=SORT((P3(1)-P0(1))*2*(P3(2)-P0(2))*2)
53     S=S*DS
54     IF(ABS(RW-P3(2)).LE.0.001) GO TO 22
55     IF(RW-P3(2)) 24,24,26
56     22 PI(1)=P3(1)
57     PI(3)=P3(3)
58     PI(4)=P3(4)
59     PI(2)=S
60     RETURN
61     C
62     24 IF(P3(4).GE.0.) GO TO 790
63     IF(IW,NE,1) GO TO 11
64     PPS3=EMACHF(P3(3),GAMMAP)
65     PP4=57.2957795*P3(4)
66     WRITE(6,44) P3(1),P3(2),PP3,PP4
67     44 FORMAT(5F13.6)
68     DO 12 L=1,4
69     12 PMB(J2+2,L,I)=P3(L)
70     GO TO 5
71     C*** ITERATION FOR R3=RW BEFORE AXIS POINT IS REACHED
72     IF(IW,NE,1) GO TO 28
73     WRITE(6,46)
74     46 FORMAT(1H ,*ITERATION FOR R3=RW BEFORE AXIS POINT IS REACHED*)
75     28 PMB(J1+2,I)=PMB(J1+1,I-1)+(PMB(J1+2,I)-PMB(J1+1,I-1))*(
76     1      (RW-P0(2))/(P3(2)-P0(2)))
77     R=PMB(J1+2,I)
78     RN=ABS(1./SIN(BETA))
79     THET=ASIN(R/RN)
80     PMR(J1+4,I)=THET
81     PMB(J1+1,I)=RN*(COS(THET)*COS(BETA))
82     PMB(J1+3,I)=EMS1P
83     S=S*DS
84     GO TO 14
85     5 CONTINUE
86     C*** CALCULATION AFTER AXIS POINT IS REACHED
87     C** FIRST AXIS POINT
88     JJ2=J2+2
89     1=N
90     DO 80 L=1,4
91     P1(L)=PMB(1,L,I)
92     P2(L)=PMB(2,L,I+1)
93     CALL APS2(GAMMAP,P1,P2,P3)
94     IF(P3(1).GE.500.) GO TO 800
95     DO 81 L=1,4
96     81 PMB(2,L,I)=P3(L)
97     C
98     A2=0.
99     500 IF(A2,NE,0.) GO TO 502
100    M=3
101    GO TO 504
102    502 M=2
103    504 DO 85 J=M,JJ2
104    DO 83 L=1,4
105    P1(L)=PMB(J+1,L,I)
106    P2(L)=PMB(J,L,I+1)
107    CALL FPS(GAMMAP,P1,P2,P3)
108    IF(P3(1).GE.500.) GO TO 800

```

```

92      DO 84 L=1,4
93      84 PMH(J,L,I)=P3(L)
94      85 CONTINUE
95      J=JJ2
96      DO 86 L=1,4
97      P1(L)=PMB(J,L,I)
98      86 P0(L)=PMB(J,L,I-1)
99      CALL BPS(GAMMAP,P0,P1,P3)
100     IF(P3(1).GE.500.) GO TO 800
101     DS=SQRT((P3(1)-P0(1))**2+(P3(2)-P0(2))**2)
102     S=S*DS
103     IF(AUS(RW-P3(2)).LE.0.001) GO TO 92
104     IF(RW-P3(2)) 94,94,96
105     P1(1)=P3(1)
106     P1(4)=P3(4)
107     P1(3)=P3(3)
108     P1(2)=S
109     RETURN
C
110    94 IF(P3(4).GE.0.) GO TO 790
111    IF(IW,NE,1) GO TO 87
112    PP3=EMACHF(P3(3),GAMMAP)
113    PP4=57.2957795*P3(4)
114    WRITE(6,44) P3(1),P3(2),PP3,PP4
115    87 DO 88 L=1,4
116    88 PMH(J+1,L,I)=P3(L)
117    GO TO 118
C*** ITERATION FOR R3RW AT THE FIRST AXIS POINT
118    96 IF(IW,NE,1) GO TO 98
119    WRITE(6,48)
120    48 FORMAT(1H ,5X,'ITERATION FOR R3RW AT THE FIRST AXIS POINT')
121    L=2
122    98 PMR(1,L,I)=PMB(2,L,I-1)+(PMB(1,L,I)-PMH(2,L,I-1))*1
123    (RW-P0(2))/(P3(2)-P0(2))
124    K=PMH(1,L,I)
125    RN=AHS(1./SIN(BETA))
126    THET=ASIN(R/RN)
127    PMB(1,4,I)=THET
128    PMR(1,1,I)=RN*(COS(7NET)-COS(BETA))
129    S=S*DS
130    A2=1.
131    GO TO 500
C*** AFTER FIRST AXIS POINT
132    118 I=I+1
133    DO 104 L=1,4
134    104 P2(L)=PMB(2,L,I-1)
135    CALL APS1(GAMMAP,P2,P3)
136    IF(P3(1).GE.500.) GO TO 800
137    DO 105 L=1,4
138    PMH(1,L,I)=P3(L)
139    P1(L)=P3(L)
140    105 P2(L)=PMB(3,L,I-1)
141    CALL APS2(GAMMAP,P1,P2,P3)
142    IF(P3(1).GE.500.) GO TO 800
143    DO 106 L=1,4
144    106 PMR(2,L,I)=P3(L)
145    DO 109 J=3,JJ2
146    DO 107 L=1,4
147    P1(L)=PMB(J-1,L,I)
148    107 P2(L)=PMB(J+1,L,I-1)
149    CALL FPS(GAMMAP,P1,P2,P3)
150    IF(P3(1).GE.500.) GO TO 800
151    DO 108 L=1,4
152    108 PMB(J,L,I)=P3(L)
153    109 CONTINUE
154    DO 130 L=1,4
155    P1(L)=PMH(JJ2,L,I)
156    130 P0(L)=PMB(JJ2+1,L,I-1)
157    CALL APS1(GAMMAP,P0,P1,P3)
158    IF(P3(1).GE.500.) GO TO 800
159    DS=SQRT((P3(1)-P0(1))**2+(P3(2)-P0(2))**2)
160    S=S*DS
161    IF(AHS(RW-P3(2)).LE.0.001) GO TO 142
162    IF(RW-P3(2)) 144,144,146
C
163    142 PI(1)=P3(1)
164    PI(4)=P3(4)
165    PI(3)=P3(3)
166    PI(2)=S
167    RETURN
C
168    144 IF(P3(4).GE.0.) GO TO 790
169    IF(IW,NE,1) GO TO 131
170    PP3=EMACHF(P3(3),GAMMAP)
171    PP4=57.2957795*P3(4)
172    WRITE(6,44) P3(1),P3(2),PP3,PP4
173    DO 132 L=1,4
174    132 PMH(JJ2+1,L,I)=P3(L)
175    IF(I,GE,30) GO TO 900
176    GO TO 118
177    900 WRITE(6,3000)
178    3000 FORMAT(1H0,5X,'OVER DIMENSION OF RIGHT RUNNING WAVE !')
179    RETURN
C*** ITERATION FOR R3RW AFTER FIRST AXIS POINT
180    146 IF(IW,NE,1) GO TO 148
181    WRITE(6,50)
182    50 FORMAT(1H ,5X,'ITERATION FOR R3RW AFTER FIRST AXIS POINT')
183    DO 150 L=1,4
184    150 PMR(1,L,I)=PMB(2,L,I-1)+(PMB(1,L,I)-PMH(2,L,I-1))*1
185    (RW-P0(2))/(P3(2)-P0(2))
186    P1(L)=PMB(1,L,I)
187    152 P2(L)=PMB(3,L,I-1)
188    CALL FPS(GAMMAP,P1,P2,P3)
189    DO 154 L=1,4
190    154 PMR(2,L,I)=P3(L)
191    GO TO 120
C*** FAILURE PRINT OUT
192    790 PP3=EMACHF(P3(3),GAMMAP)
193    PP4=57.2957795*P3(4)

```

```

193      WRITE(6,3010) P3(1),P3(2),PP3,PP4
194      3010 FORMAT(1H ,5X,'JET BOUNDARY WOULD NOT REACH TO THE SHROUD//'
1         1H ,5F13.5 )
195      IW=10
196      RETURN
C
C***   OUTPUT OF NET POINT VALUES
197      800 IF(IWF,'E,1) GO TO 850
198      WRITE(6,3020)
199      3020 FORMAT(1H1,5X,*NET POINT VALUES*//'
1         5X3H I,2X3H J,9X5HX-C00,9X5HTHETA,9X5HNSTAR,
2         9X5HMACH1,9X5HP/PPP/)
200      DO 810 NI=2,I
201      IF(NI,N,1) GO TO 830
202      J1=N+1-I
203      J2=I+NI-1
204      GO TO 840
205      830 J1=1
206      J2=J+J2+1
207      840 DO 820 J=J1,J2
208      PMB=PMACHF(PMB(I,J,3,NI1,GAMMAP))
209      PP4=57.2957795*PHB(J,4,NI)
210      PP5=PPTR10F(PMB(I,J,3,NI),GAMMAF)
211      WRITE(6,3030) NI,J,PHB(J,1,NI),PMB(J,2,NI),PP4,PMB(J,3,NI),PP5,PP5
212      3030 FORMAT(1H ,4X,I3,2X,I3,2Y,F12.6)
213      820 CONTINUE
214      810 WRITE(6,3040)
215      3040 FORMAT(1H01
216      850 IW=20
217      RETURN
218      END

```

```

C***   STARTING CONDITON FOR CONICAL NOZZLE  ****=  

1      SUBROUTINE STATC1(FMS1P,HETA,PHB ,N) ****=  

2      DIMENSION PHB(100,4,30) ****=  

3      I=1,I ****=  

4      ANSFLOAT(N-1) ****=  

5      PHB(N,1,1)=0.0 ****=  

6      PHB(N,2,1)=1, ****=  

7      PHB(I,3,1)=FMS1P ****=  

8      PHB(I,4,1)=HETA ****=  

9      DN=1./A.. ****=  

10     HNA=HS1./SIN(HETA)) ****=  

11     DO 1 I=2,N ****=  

12     J=N+1-I ****=  

13     PHB(I,J,2,I)=PHB(J+1,2,I-1)+DN ****=  

14     HAPHI(I,J,2,I) ****=  

15     PHB(I,J,4,I)=ASIN(H/RN ) ****=  

16     THET=PHB(I,J,4,I) ****=  

17     PHB(I,J,1,I)=HNA*(COS(THET)-COS(BETA)) ****=  

18     PHB(I,J,3,I)=FMS1P ****=  

19     IF(I>1,I,0) GO TO 1 ****=  

20     WRITE(6,10) J,I, PHB(J,1,I),PHB(J,2,I),PHB(J,3,I),PHB(J,4,I) ****=  

21     10 FORMAT(1H ,2X,*STATC1*,5X3H J=I3,5X3H I=I3,5X3H X=E12.5,
1           5X3H R=E12.5,5X6HNSTAR=E12.5,5X6HTHETA=E12.5) ****=  

22     1 CONTINUE ****=  

23     RETURN ****=  

24     END ****=  


```

```

C***   PRANDTL - MEYER SUBROUTINE FOR CONICAL NOZZLE  ****=  

1      SUBROUTINE PMSAR1(GAMMAP,EM1P,P1S,BETA,K,N,PHB) ****=  

2      C ****=  

3      OMEGAF(A,B)=SQRT((B+1.)/(B-1.))*ATAN(SQRT((A**2-1.)/(B+1.)/(B-1.))PMS10040
4      1-A**2))=ATAN(SQRT((B+1.)/(B-1.))*(A**2-1.)/(B+1.)/(B-1.-A**2))PMS10050
5      2)) ****=  

6      EMASTF(A,B)=SQRT((0.5*(B+1.)*(A**2))/(1.+0.5*(B-1.)*(A**2))) ****=  

7      EMPSRF(A,B)=SQRT((B+1.)/(B-1.))*(1.-A**((H-1.)/H))) ****=  

8      DIMENSION PHB(100,4,30) ****=  

9      C ****=  

10     Y=OMEGAF(EMASTF(EM1P,GAMMAP),GAMMAP) ****=  

11     ANGLE=57.2957795(Y=OMEGAF(EMPSRF(P1S,GAMMAP),GAMMAP)) ****=  

12     K=ABS(ANGLE) ****=  

13     K=K+1 ****=  

14     CfFLOAT(K) ****=  

15     DELTA=ANGLE/(C=57.2957795) ****=  

16     PHB(N,1,1)=0.0 ****=  

17     PHB(N,2,1)=1, ****=  

18     DO 53 I=NPI,NPK ****=  

19     PMB(I,1,1)=PHB( I-1,1,1) ****=  

20     PMB(I,2,1)=PHB( I-1,2,1) ****=  

21     PMB(I,3,1)=PHB( I-1,3,1)+DELTA ****=  

22     Y1=Y-(PHB(I,4,1)-PHB(N,4,1)) ****=  

23     Y2=PHB(I-1,3,1)+0.02 ****=  

24     51 Y3=OMEGAF(Y2,GAMMAP) ****=  

25     IF(ABS(Y1-Y3)>1.50E-6) 53,53,52 ****=  

26     52 Y2=Y+((Y1-Y3)/(Y3-OMEGAF(PMB( I-1,3,1),GAMMAP)))*(Y2
1 -PHB( I-1,3,1))
27     GO TO 51 ****=  

28     53 PMB(I,3,1)=Y2 ****=  

29     RETURN ****=  

30     END ****=  


```

```

C***** BOUNDARY POINT SUBROUTINE FOR CONST P1S/P0P *****BPS10010
1   SUBROUTINE BPS1(GAMMAP,P0,P1,P3)                                BPS10020
2   EMACHF(A,B)=SQR((2.0*(A**2))/(B+1.0)/(1.0-((B+1.0)/(B+1.0)*(A**2))) )BPS10030
3   ALPHAF(C)=ATAN(SQR(1.0/(C**2-1.0)))                           BPS10040
4   DIMENSION P0(4),P1(4),P3(4)                                       BPS10050
C** KNOWN POINT P0 AND UNKNOWN POINT P3 ON JET BOUNDARY             BPS10060
5   IW1=1                                                               BPS10070
6   X0=P0(1)                                                            BPS10080
7   R0=P0(2)                                                            BPS10090
8   EMS0=P0(3)                                                          BPS10100
9   THET0=P0(4)                                                          BPS10110
10  H1=P1(2)                                                            BPS10120
11  X1=P1(1)                                                            BPS10130
12  EMS1=P1(3)                                                          BPS10140
13  THET1=P1(4)                                                          BPS10150
14  R1=X1
15  THET13=THET1
16  THET03=THET0
17  NN=1
18  EMS13=(EMS1+EMS0)/2.
19  Y1=ALPHAF(FMACHF(EMS13,GAMMAP ))
20  Y3=THET13-Y1
21  Y5=EMS13*(SIN(Y1)/COS(Y1))                                         BPS10230
22  Y7=((SIN(THET13))/COS(THET13))*(SIN(Y1)/COS(Y1)))/(R13*((SIN(THET13)*BPS10240
1  /COS(THET13))+(SIN(Y1)/COS(Y1)))                                         BPS10250
23  X3=(R1+R0)*(SIN(THET03)/COS(THET03))-X1*(SIN(Y3)/COS(Y3))/(SIN(BPS10260
1  THET03)/COS(THET03)-SIN(Y3)/COS(Y3))                                         BPS10270
24  R3=R1+(X3-X1)*(SIN(Y3)/COS(Y3))                                         BPS10280
25  P3(1)=X3
26  P3(2)=R3
27  P3(3)=EMS0
28  EMS3=EMS0
29  THET3=THET1+Y7*(R3-R1)-(EMS3-EMS1)/Y5
30  IF(ABS((THET3-THET1)/2.-THET13)*1.50E-6) 36,36,35
31  R13=(R1+R3)/2.
32  THET13=(THET3-THET1)/2.
33  THET03=(THET0+THET3)/2.
34  IF(IW1,NE,0) GO TO 10
35  WRITE(6,500) X0,R0,EMS0,THET0,X1,R1,EMS1,THET1,
1  X3,R3,EMS3,THET3
36  500 FORMAT(1H ,5X,'CHECK OF THE OUTPUT OF BPS1'
1  5XH X0=E12.5, 3X4HMS0=E12.5,3X4HTH0=E12.5  BPS10420
2  / 5XH X1=E12.5, 3X4H R1=E12.5, 3X4HMS1=E12.5,3X4HTH1=E12.5  BPS10430
3  / 5XH X3=E12.5, 3X4H R3=E12.5, 3X4HMS3=E12.5,3X4HTH3=E12.5  BPS10440
37  10 IF(NN,GE,15) GO TO 37
38  NN=NN+1
39  GO TO 31
40  36 P3(4)=THET3
41  RETURN
42  37 WRITE(6,510) X0,X1
43  510 FORMAT(1H ,8X,'BPS1 CONVERSION ERROR !,5X4H X0=E12.5,3X4H X1=E12.5)  BPS10510
44  P3(1)=500,
45  RETURN
46  END
47

C FIELD POINT SUBROUTINE
1   SUBROUTINE FPS (GAMMAP,P1,P2,P3)                                 FPS00010
2   EMACHF(A,B)=SQR((2.0*(A**2))/(B+1.0)/(1.0-((B+1.0)/(B+1.0)*(A**2))) )FPS00020
3   ALPHAF(C)=ATAN(SQR(1.0/(C**2-1.0)))                           FPS00030
4   DIMENSION P1(4),P2(4),P3(4)
5   IW1=1                                                               FPS00040
6   X1=P1(1)                                                            FPS00050
7   X2=P2(1)                                                            FPS00060
8   R1=P1(2)                                                            FPS00070
9   R2=P2(2)                                                            FPS00080
10  EMS1=P1(3)                                                          FPS00090
11  EMS2=P2(3)                                                          FPS00100
12  THET1=P1(4)                                                          FPS00110
13  THET2=P2(4)                                                          FPS00120
14  R13=R1
15  EMS13=EMS1
16  THET13=THET1
17  R23=R2
18  EMS23=EMS2
19  THET23=THET2
20  NN=1
21  Y1=ALPHAF(FMACHF(EMS13,GAMMAP ))
22  Y2=ALPHAF(EMACHF(EMS23,GAMMAP))
23  Y3=THET13-Y1
24  Y4=THET23-Y2
25  Y5=EMS13*(SIN(Y1)/COS(Y1))                                         FPS00240
26  Y6=EMS23*(SIN(Y2)/COS(Y2))                                         FPS00250
27  Y7=((SIN(THET13))/COS(THET13))*(SIN(Y1)/COS(Y1)))/(R13*((SIN(THET13)*FPS00260
1  /COS(THET13))-(SIN(Y1)/COS(Y1)))                                         FPS00270
28  Y8=((SIN(THET23))/COS(THET23))*(SIN(Y2)/COS(Y2)))/(R23*((SIN(THET23)*FPS00300
1  /COS(THET23))+(SIN(Y2)/COS(Y2)))                                         FPS00310
29  X3=(R2-R1)*X2*(SIN(Y4)/COS(Y4))+X1*(SIN(Y3)/COS(Y3))/(SIN(Y3)/COS(FPS00320
1  Y3))-(SIN(Y4)/COS(Y4))                                         FPS00330
30  R3=R1+(X3-X1)*(SIN(Y3)/COS(Y3))
31  THET3=(THET1+Y5*THET2+Y6*EMS2+Y7*Y5*(R3-R1)-Y8*Y6*(R3-R2))/(YFPS00350
1  15*Y6)                                         FPS00360
32  EMS3=EMS1+Y5*(THET3+Y7*(R3-R1))                                         FPS00370
33  3 IF( ABS ((EMS3+EMS1)/2.-FMS13)-1.25E-5) 4,4,5
34  4 IF( ABS ((THET3+THET1)/2.-THET13)-1.50E-6) 6,6,5
35  5 EMS13=(EMS1+EMS3)/2,
36  EMS23=(EMS2+EMS3)/2,
37  R13=(R1+R3)/2.
38  R23=(R2+R3)/2,
39  THET13=(THET1+THET3)/2,
40  THET23=(THET2+THET3)/2,
41  IF(IW1,NE,0) GO TO 10
42  WRITE(6,500) X1,R1,EMS1,THET1,X2,R2,EMS2,THET2,
1  X3,R3,EMS3,THET3
43  500 FORMAT(1H ,10X,'CHECK OF THE OUTPUT OF FPS'
1  5XH X1=E12.5, 3X4H R1=E12.5, 3X4HMS1= E12.5, 3X4HTH1=F12.5  FPS00500
2  / 5XH X2=E12.5, 3X4H R2=E12.5, 3X4HMS2= E12.5, 3X4HTH2=F12.5  FPS00510
3  / 5XH X3=F12.5, 3X4H R3=E12.5, 3X4HMS3= E12.5, 3X4HTH3=F12.5)FPS00520
40  10 IF(NN,GE,15) GO TO 37
41  NN=NN+1
42

```

```

46      GO TO 1
47      P3(1)=X3
48      P3(2)=R3
49      P3(3)=EMS3
50      P3(4)=THET3
51      RETURN
52      37 WRITE(6,510) X1,X2
53      510 FORMAT(8X,'FPS CONVERSION ERROR !'
54      1      5X4H X1=E12.5,3X4H X2=E12.5)
55      P3(1)=500.
56      RETURN
57      END

```

FPS00550
FPS00560
FPS00570
FPS00580
FPS00590
FPS00600
FPS00610
FPS00620
FPS00630
FPS00650
FPS00660

```

C      AXIS POINT SUBROUTINE(1)
1      SUBROUTINE APS1 (GAMMAP,P2,P3)                                APS10010
2      EMACHF(A,B)=SORT(((2.*A**2)/(B+1.))/(1.-(B-1.)/(B+1.))*(A**2))    APS10020
3      ALPHAF(C)=ATAN(SORT(1./(C**2-1.)))                           APS10030
4      DIMENSION P2(4),P3(4)                                         APS10040
C**   UNKNOWN POINT P3 ON THE AXIS                                     APS10050
5      IW1=1                                                       APS10060
6      X2=P2(1)                                                 APS10070
7      R2=P2(2)                                                 APS10080
8      EMS2=P2(3)                                              APS10090
9      THET2=P2(4)                                             APS10100
10     R3=0.0                                                 APS10110
11     THET3=0.0                                              APS10120
12     R23=R2/2.                                              APS10130
13     EMS23=EHS2                                           APS10140
14     THET23=THET2/2.                                         APS10150
15     NN=1                                                 APS10160
16     11 Y2=ALPHAF(EMACHF(EMS23,GAMMAP))                      APS10170
17     Y4=THET23*Y2                                           APS10180
18     Y6=EMS23*(SIN(Y2)/COS(Y2))                            APS10190
19     Y8=((SIN(THET23)/COS(THET23))*(SIN(Y2)/COS(Y2)))/(R23*((SIN(THET23)APS10210
20     1)/COS(THET23))+SIN(Y2)/COS(Y2))                   APS10220
21     X3=X2+R2*(COS(Y4)/SIN(Y4))                           APS10230
22     EMS3=EMS2+Y6*(THET2+Y8*R2)                           APS10240
23     13 IF (ABS((EMS2+EMS3)/2.-EMS23)>1.25E-5) 15,15,14    APS10250
24     14 EMS23=(EMS2+EMS3)/2.                                 APS10260
25     IF(IW1,NE,0) GO TO 10                                APS10270
26     15 WRITE(6,50) X2,R2,EMS2,THET2,X3,R3,EMS3,THET3    APS10280
27     50 FORMAT(1H ,10X,'CHECK OF APS1/'
28     1      5X4H X2=E12.5,3X4H R2=E12.5, 3X4HMS2=E12.5,3X4HTH2=E12.5    APS10290
29     2      /5X4H X3=E12.5,3X4H R3=E12.5, 3X4HMS3=E12.5,3X4HTH3=E12.5)    APS10300
30     10 IF(NN,GE,15) GO TO 37                                APS10310
31     NN=NN+1                                               APS10320
32     GO TO 11                                              APS10330
33     15 P3(1)=X3                                           APS10340
34     P3(2)=R3                                              APS10350
35     P3(3)=EMS3                                           APS10360
36     P3(4)=THET3                                         APS10370
37     RETURN
38     37 WRITE(6,510) X2
39     510 FORMAT(8X,'APS1 CONVERSION ERROR !'
1      1      5X4H X2=E12.5)
P3(1)=500.
RETURN
END

```

APS10020
APS10030
APS10040
APS10050
APS10060
APS10070
APS10080
APS10090
APS10100
APS10110
APS10120
APS10130
APS10140
APS10150
APS10160
APS10170
APS10180
APS10190
APS10200
APS10210
APS10220
APS10230
APS10240
APS10250
APS10260
APS10270
APS10280
APS10290
APS10300
APS10310
APS10320
APS10330
APS10340
APS10350
APS10360
APS10370
APS10380
APS10390
APS10400
APS10410
APS10420
APS10430
APS10440
APS10450

```

1      C      AXIS POINT SUBROUTINE(2)                                APS20010
2      SURROUNDPAPS2 (GAMMAP,P1,P2,P3)                            APS20020
3      EMACHF(A,B)=SQRT(((2.*(A**2))/(B+1.))/(1.-((B+1.)/(B+1.))*(A**2)))APS20030
4      ALPHAF(C)=ATAN(SQRT(1./((C**2+1.))))                      APS20040
5      DIMENSION P1(4),P2(4),P3(4)                                APS20050
6      C**      KNOWN POINT P1 ON THE AXIS                           APS20060
7      IWI=1                                                       APS20070
8      X1=P1(1)                                                    APS20080
9      X2=P2(1)                                                    APS20090
10     K1=P1(2)                                                    APS20100
11     K2=P2(2)                                                    APS20110
12     EMS1=P1(3)                                                 APS20120
13     EMS2=P2(3)                                                 APS20130
14     THET1=P1(4)                                                 APS20140
15     THET2=P2(4)                                                 APS20150
16     R1=1.                                                       APS20160
17     EMS1=FMS1                                                 APS20170
18     THET13=THET1                                              APS20180
19     R2=2.                                                       APS20190
20     EMS2=FMS2                                                 APS20200
21     THET23=THET2                                              APS20210
22     NN=1                                                       APS20220
23     Y1=ALPHAF(EMACHF(EMS13,GAMMAP))                            APS20230
24     Y2=ALPHAF(EMACHF(EMS23,GAMMAP))                            APS20240
25     Y3=THET13-Y1                                              APS20250
26     Y4=THET23-Y2                                              APS20260
27     Y5=EMS13*(SIN(Y1)/COS(Y1))                                 APS20270
28     Y6=EMS23*(SIN(Y2)/COS(Y2))                                 APS20280
29     Y8=((S1*(THET23)/COS(THET23))*(SIN(Y2)/COS(Y2)))/(R23*(SIN(THET23APS20290
30     1/COS(THET23))+(SIN(Y2)/COS(Y2))))                         APS20300
31     X3=(R2-K1)*Y2*(SIN(Y4)/COS(Y4))+X1*(SIN(Y3)/COS(Y3)) / (SIN(Y3)/COS(APS20310
32     1Y3)-S1*(Y4)/COS(Y4))                                         APS20320
33     R3=(X3-X1)*(SIN(Y3)/COS(Y3))                               APS20330
34     THET3=(THET2*Y6+EMS1-EMS2-Y6*(R3-X2))/(2.*Y5+Y6)          APS20340
35     EMS3=EMS1-Y5*2.*THET3                                     APS20350
36     IF (ABS((EMS3+FMS1)/2.-EMS13)>1.25E-5) 24,24,25        APS20360
37     IF (ABS((THET3+THET1)/2.+THET13)>1.5UE-6) 26,26,25        APS20370
38     EMS13=(EMS1+FMS1)/2.                                         APS20380
39     EMS23=(EMS2+FMS2)/2.                                         APS20390
40     R13=(R1+R3)/2.                                              APS20400
41     R23=(R2+R3)/2.                                              APS20410
42     THET13=(THET1+THET3)/2.                                     APS20420
43     THET23=(THET2+THET3)/2.                                     APS20430
44     IF(IWI,NE,0) GO TO 10                                     APS20440
45     WRITE(6,500) X1,I1,EMS1,THET1,X2,R2,FMS2,THET2,           APS20450
46     X3,I3,EMS3,THET3                                           APS20460
47     500 FORMAT(1H ,1NX,'CHECK OF THE OUTPUT OF APS2'//          APS20470
48     1      5X4H X1=E12.5, 3X4H R1=E12.5, 3X4HMS1= E12.5, 3X4HTH1=E12.5  APS20480
49     2      / 5X4H X2=E12.5, 3X4H R2=E12.5, 3X4HMS2= E12.5, 3X4HTH2=E12.5  APS20490
50     3      / 5X4H X3=E12.5, 3X4H R3=E12.5, 3X4HMS3= E12.5, 3X4HTH3=E12.5)APS20500
51     10 IF(NN,GE,15) GO TO 37                                    APS20510
52     NN=NN+1                                                    APS20520
53     GO TO 21                                                    APS20530
54     26 P3(1)=X3                                                APS20540
55     P3(2)=R3                                                    APS20550
56     P3(3)=EMS3                                                 APS20560
57     P3(4)=THET3                                               APS20570
58     RETURN                                                    APS20580
59     37 WRITE(6,510) X1,X2                                      APS20590
60     510 FORMAT(8X,'APS2 CONVERSION ERROR' //                  APS20600
61     1      5X4H X1=E12.5,3X4H X2=E12.5)                         APS20610
62     P3(1)=500.                                                 APS20620
63     RETURN                                                    APS20630
64     END                                                       APS20640

```

```

C*      ZERO SECONDARY FLOW EJECTOR, AUX, PROBLEM=2, (ZFE2)
C*      BASF PRESSURE USING ANGULAR REATTACHMENT CRITERIA
C*-----+
C**      INPUT PARAMETERS
C      G      = SPECIFIC HEAT RATIO
C      ARO    = NOZZLE AREA RATIO
C      AD     = DIFFUSER INLET AREA/NOZZLE THROAT AREA
C      RET    = NOZZEL EXIT HALF ANGLE, POSITIVE VALUE IN DEGREE
C      IW1   : IW1=1 LSISUS DETAILED OUTPUT
C      N      : NUMBER OF SURDIVISION OF INITIAL ISOMACH SURFACE
C      IDT    : PROBLEM IDENTIFICATION
C      IDT#0, CONSTANT AREA SHROUD
C      IDT#1, NONCONSTANT AREA SHROUD, USE SHROUD PROFILE SUBR.
C      IW    : OUTPUT CONTROL, IW=1 DETAILED OUTPUT
C
C**      FUNCTION STATEMENT
1      EMASF(A,B)=SORT((1.5*(B+1.)*A**2)/(1.+1.5*(B+1.)*A**2))
2      EMACHF(A,B)=SORT(((2.-(A**2))/(B+1.))/(1.+1.5*(B+1.)*A**2))
3      PRTIOF(A,B)=(1.-(B-1.)/(B+1.))*A**2*(B/(B+1.))
4      FM(A,B,C)=C*(1.-(2./(B+1.)))*(1.+0.5*(B+1.)*A**2)**(1.05*(B+1.)/
5          (B+1.))
6      FD(A,B,C)=C*(2./(B+1.))*(0.5*(B+1.)/(B+1.))**(0.5*(B+1.)*A)
7          *(1.+0.5*(B+1.)*A**2)**(3.-B)/(B+1./2.)
8      EMPSRF(A,B)=SORT(((B+1.)/(B+1.))**1.*A**((B+1.)/B))
9      EWMF(A,B)=1./SORT(1.+(2./(B+1.)*A**2))
10     EQUIVALENCE (G,GAMMAP)
11     DIMENSION PJ(5)
12     READ(5,901) CASE,N,IDT,IW,G,BET,ARO,AD,P1SEX,IW1
13     FORMAT(A8,3I4,4F10.6,E12.5,I4)
14     IF(CASF,E0,BHEND) STOP
C
C**      NOZZLE EXIT CONDITION
C
15     BETA=RET/57.2957795
16     AR=(2./(1.-COS(BETA)))*ARO
17     BM=4,
18     DBM=FM(BM,GAMMAP,AR)/FD(BM,GAMMAP,AR)
19     IF(ABS(DBM).LE.0.0001) GO TO 96
20     BM=BM-DBM
21     GO TO 95
22     EM1P=BM
23     EMS1P=EMASF(EM1P,GAMMAP)
24     P1S=PRTIOF(EMS1P,GAMMAP)
25     RW=SORT(AD/ARO)
26     WRITE(6,52) CASE,N,G,BET,ARO,AD,RW,EM1P,P1P,P1SEX
27     FORMAT(1H1,///BX, '***ZFE-AU-2, BASE PRESSURE USING ANGULAR REATTAC
1HMENT***',2X4B,5X2HN=14//'
2      6X6HRMM=F8.5,5X5HBETA=F8.5,5X7HANE/A=F8.3,5X6HAD/A=F9.3,
3      5X3HRW=F8.5/6X3HM1=F8.5,5X8HP1P/POPHE12.5,5X10H(PC/PO)EX=
4      E12.5//)
C
C**      FIRST TRIAL VALUE OF P1S
C
28     AW=AD
29     BM=EM1P
30     DBM=FM(BM,GAMMAP,AW)/FD(BM,GAMMAP,AW)
31     IF(Abs(DBM).LE.0.0001) GO TO 98
32     BM=BM-DBM
33     GO TO 97
34     EM1P=BM
35     IF(BM1P.LT.1.) GO TO 99
36     GO TO 100
37     BM=6.5
38     GO TO 97
39     BMS1P=EMASF(BM1P,GAMMAP)
40     P1S=PRTIOF(BMS1P,GAMMAP)
41     RW=SORT(BM1P,BMS1P,P1S)
42     FORMAT(1H ,5X5HB1P=E12.5,5X6HBMS1P=E12.5,5X4HP1S=E12.5//)
43     149 CONTINUE
C
C**      JET BOUNDARY
C
44     BM2A=BM1P
45     KK#1
46     IW2=IW1
47     151 CALL LSISUB(G,RETA,RW,EMS1P,P1S,PJ,N,IW2)
48     EM2A=BM2A
49     IF(IW2,E0,20) GO TO 600
50     IF(IW2,E0,10) GO TO 152
C**     IW2=20 MEANS MOC FAILURE, AND IW1=20 MEANS JET BOUNDARY WOULD NOT
51     REACH DIFFUSER SHROUD,
52     GO TO 154
53     152 P1S=0.5*P1S
54     153 WRITE(6,54) P1S
55     54 FORMAT(1H ,5X,'NEW TRIAL VALUE OF P1S=' ,E12.5//)
56     IW2=IW1
57     BMS2A=EMPSRF(P1S,G)
58     BM2A=EMACHF(BMS2A,G)
59     GO TO 151
60     154 XJ=PJ(1)
61     THET3=PJ(4)=57.2957795
62     EMJ =PJ(8)
63     S=PJ(5)
64     XJDD=0.5*XJ/RW
65     IF(IW,NE,1)GO TO 155
66     WRITE(6,56) XJ,XJDD,THET3,S,EMJ ,EM2A
67     56 FORMAT(1H ,5X,'JET IMPINGEMENT POINT/' ,6X3HXJ=E12.5,5X5HXJD=E12.5,
68     15X6HTHET3=E12.5,5X2HS=E12.5,5X4HMPJ=E12.5,5X4HM2A=E12.5//)
C
C**      REATTACHMENT CRITERIA
C
69     155 THET4=ABS(THET3)
70     W1=EWMF(EM1P,G)
71     AD=268.74830
72     A1=559.27743
73     A2=270.46285

```

```

70      C=AD=W1**2*THET4
71      BSORT=A1**2=4.,A2=C
72      IF(BSQR7,GE,0,)GO TO 223
73      WRITE(6,224)
74      FORMAT(1H0,'REATTACHMENT CRITERIA,MINUS VALUE IN SQUARE ROOT')
75      P1S=1.5*P1S
76      GO TO 153
77      223 W2=(-A1+SQRT(BSQR7))/(2.*A2)
78      BM2A=2./((G-1.)*W2**2/(1.-W2**2))
79      BM2A=SORT(BM2A)
80      IF(ABS(BM2A-EM2A),LE,0.0001) GO TO 200
81      DEBM=EM2A-BM2A
82      AV=4,
83      IF(KK,GE,15)AV=8,
84      BM2A=EM2A+DEBM/AV
85      IF(AR,LE,2,)BM2A=EM2A+DEBM/AV
86      330 HNS2A=EMASTF(BM2A,GAMMAP)
87      P1S=PRTIOF(BMS2A,GAMMAP)
88      IF(KK,GE,40) GO TO 170
89      KK1=KK+1
90      IF(IW,NE,1) GO TO 160
91      WRITE(6,60) P1S ,BM2A,KK1
92      60 FORMAT(1H ,8X,'NEW ESTIMATE OF P1S=' ,E12.5,5*X4HM2A=E12.5,
93      1      5*X3HKK=I3//)
94      160 KK=KK+1
95      GO TO 151
96      C
97      170 WRITE(6,65) KK
98      65 FORMAT(1H ,*****' BASE PR. SOLN. WOULD NOT CONVERGE. KK=' ,I3//)
99      GO TO 88
100     200 WRITE(6,56) XJ,J,XJDD,THET3,S,EMJ,EM2A
101     WRITE(6,62) P1S,BM2A,KK
102     62 FORMAT(1H ,//'/6X,'*****'
103     1      6X,'BASE PRESSURE USING ANGULAR REATTACHMENT'
104     2      6XBHP1S/POP=E12.5,5*X4HM2A=E12.5,15*X3HKK=I3/
105     3      6X, '*****'
106     GO TO 88
107     600 WRITE(6,64)
108     64 FORMAT(1H ,8X,'LSISUR FAILURE')
109     GO TO 88
110     END

```

```

1      C***** LIMITING STREAMLINE IMPINGEMENT SUBROUTINE *****
2      SUBROUTINE LSISUB(G,BETA,RW,EMS1P,P1S,PJ,N,IW)
3      C      INPUT G,BETA,RW,EMS1P,P1S,N,IW
4      C      OUTPUT PJ
5      C
6      C*** FUNCTION STATEMENT
7      EMASF(A,B)=SQRT((.5*(B+1.)*A**2)/(1.+.5*(B+1.)*A**2))
8      EMAGF(A,B)=SQRT(((2.+(A**2))/(B+1.))/((1.+((H-1.)/(B+1.))*A**2)))
9      PRTIOF(A,B)=(1.-(B+1.)/(B+1.))*A**2)*(H/(B-1.))
10     DIMENSION PMB(100,4,30),P0(4),P1(4),P2(4),P3(4),PJ(5)
11
12     C*** STARTING CONDITION FOR CONICAL NOZZLE
13
14     EM1P=EMASF(G)
15     41 CALL STATC1(EMS1P,BETA,PMB,N)
16     CALL PMSBR1(G,EM1P,P1S,BETA,K,N,PMB)
17     K1=N+K
18     PPM=57.2957795*PMB(K1,4,1)
19     EMSJB=PHB(K1,3,1)
20     EMJB=EMASF(EMSJB,G)
21     EM2A=EMJB
22     C2A=1./SORT((.+2./((G+1.)*EM2A**2)))
23     CALL DVS(C2A,FAIJ,EITAJ,EITAM, 0)
24     SIGI(12,-2,76*EM2A
25     EMSJ=FAIJ*EMSJB
26     EMJB=EMASF(EMSJ,G)
27     IF(IW,NE,1) GO TO 199
28     WRITE(6,42) PMA(K1,1,1),PMR(K1,2,1),PMB(K1,3,1),PPM,P1S,EMJB
29     42 FORMAT(1H ,5X,'PRANDTL-MEYER' /6X3HX0=F8.5,5*X3HRD=F8.5,5*X3HMS=F8.5,
30     1      5*X6HTHETA=F8.4,5*X4HP1S=E12.5,5*X5HMACH=F8.5//)
31     WRITE(6,59)
32     59 FORMAT(1H ,5X,'INVICID BOUNDARY AND JET BOUNDARY STREAMLINF' //)
33     1      8X2HX3,11X2HR3,11X2HM3,8X5HTET3,5X,11X2HXJ,11X2HKJ//)
34
35     199 CONTINUE
36     ITER=0
37     S=0,
38     10 NM1= N+1
39     DO 5 I=2,NM1
40     J1=N+1-I
41     J2=K1-I+2
42     14 DO 6 J=J1,J2
43     DO 7 L=1,4
44     P1(L)=PMB(J,L,I)
45     7 P2(L)=PMB(J+1,L,I=1)
46     CALL FPS(G,P1,P2,P3)
47     IF(P3(1).GE.500.) GO TO 800
48     DO 8 L=1,4
49     8 PMB(J+1,L,I)=P3(L)
50
51     6 CONTINUE
52     DO 9 L=1,4
53     P0(L)=PMB(J2+1,L,I=1)
54     9 P1(L)=PMB(J2+1,L,I)
55     CALL BPS1(G,P0,P1,P3)
56     IF(P3(1).GE.500.) GO TO 800

```

```

45      DS= SORT((P3(1)-P0(1))**2+(P3(2)-P0(2))**2)
46      S=S+DS
C
C***   JET BOUNDARY STREAMLINE CALCULATION
C
47      XJ=P3(1)+S*(EITAM-EITAJ)*SIN(P3(4))/SIGI
48      RJJ=P3(2)+S*(EITAM-EITAJ)*COS(P3(4))/SIGI
C
49      IF(AHS(RW-RJ),LE,0,001) GO TO 22
50      IF(RW=RJ) 24,24,26
C
51      22 PJ(1)=XJ
52      PJ(2)=RJ
53      PJ(3)=EMJ
54      PJ(4)=P3(4)
55      XJDD=-,5*XJ/RW
56      IF(IW,NE,1) RETURN
57      WRITE(6,601) XJDD,XJ,RJ,EMJ,P3(4)
58      601 FORMAT(1H ,/6X,1000 JBS IMPINGEMENT POINT 0000,5X5HXJDD=E12.5/
1           6X,3HXJ=E12.5,5X5HRJ=E12.5,5X3HMJ=E12.5,5X3HTH=E12.5/)
59      RETURN
60      24 IF(P3(4),GE,0,) GO TO 790
61      IF(IW,NE,1) GO TO 11
62      MP4=57.2957795*P3(4)
63      WRITE(6,44) P3(1),P3(2),EM2A,PP4,XJ,RJ,EMJ,EITAJ,FAIJ
64      44 FORMAT(1H ,/6X,4F13.6,5X,5F13.6)
65      11 DO 12 L=1,4
66      12 PMR(J2+2,L,I)=P3(L)
67      GO TO 5
C
C***   ITERATION FOR RJ=RW BEFORE AXIS POINT IS REACHED
C
68      26 IF(IW,NE,1) GO TO 28
69      WRITE(6,46)
70      46 FORMAT(1H ,5X,*ITERATION FOR RJ=RW BEFORE AXIS POINT IS REACHED*)
71      RW1=RW
72      29 SC=S-DS*(RW1-P0(2))/(P3(2)-P0(2))
73      RWC=RW-SC*(EITAM-EITAJ)*COS(P3(4))/SIGI
74      IF(AHS(RWC-RW1),LE,0.001) GO TO 30
75      RW1=RWC
76      GO TO 29
77      30 PMB(J1,2,I)=PMR(J1+1,2,I)+PMB(J1,2,I)*PMB(J1+1,2,I=1)*
1          (RWC-P0(2))/(P3(2)-P0(2))
78      1      R=PMB(J1,2,I)
79      RN=ABS(1./SIN(RETAA))
80      THET=ASIN(R/RN)
81      PMR(J1,4,I)=THET
82      PMR(J1,1,I)=RN*(COS(1THET)-COS(BETA))
83      PMB(J1,3,I)=EHS1P
84      S=S-DS
85      IF(ITER,GE,30) GO TO 31
86      ITER=ITER+1
87      GO TO 14
88      31 IW=20
89      RETURN
90      5 CONTINUE
C
C***   AFTER AXIS POINT IS REACHED
C
91      FIRST AXIS POINT
C
92      JJ2=J2+2
93      I=N
94      DO 80 L=1,4
95      P1(L)=PMB(1,L,I)
96      80 P2(L)=PMB(2,L,I=1)
97      CALL APS2(G,P1,P2,P3)
98      IF(P3(1),GE,500,) GO TO 800
99      DO 81 L=1,4
100     81 PMR(2,L,I)=P3(L)
C
101     A2=0.
102     500 IF(A2,NE,0,) GO TO 502
103     M=3
104     GO TO 504
105     502 M=2
106     504 DO 85 J=M,JJ2
107     DO 83 L=1,4
108     P1(L)=PMB(1,L,I)
109     83 P2(L)=PMB(1,L,I=1)
110     CALL FPS2(G,P1,P2,P3)
111     IF(P3(1),GE,500,) GO TO 800
112     DO 84 L=1,4
113     84 PMB(J,L,I)=P3(L)
114     85 CONTINUE
115     J=JJ2
116     DO 86 L=1,4
117     P1(L)=PMB(1,L,I)
118     86 P0(L)=PMB(1,L,I=1)
119     CALL BPS1(G,P0,P1,P3)
120     IF(P3(1),GE,500,) GO TO 800
121     DS=SORT((P3(1)-P0(1))**2+(P3(2)-P0(2))**2)
122     S=S+DS
C
C***   JBS
C
123     XJ=P3(1)+S*(EITAM-EITAJ)*SIN(P3(4))/SIGI
124     RJJ=P3(2)+S*(EITAM-EITAJ)*COS(P3(4))/SIGI
C
125     IF(AHS(RW-RJ),LE,0,001) GO TO 92
126     IF(RW=P3(2)) 94,94,96
127     92 PJ(1)=XJ
128     PJ(2)=RJ
129     PJ(3)=EMJ
130     PJ(4)=P3(4)
131     PJ(5)=S
132     RETURN
C
133     94 IF(P3(4),GE,0,) GO TO 790

```

```

134      IF(IW,NE,1) GO TO 87
135      PP4=57.2957795eP3(4)
136      WRITE(6,44), P3(1),P3(2),EM2A,PP4,XJ,RJ,EMJ,EITAJ,FAIJ
137      DO 88 L=1,4
138      PMB(J=L,I)=P3(L)
139      GO TO 118
C
C***   ITERATION FOR RJ=RW AT RHW FROM THE FIRST AXIS POINT
C
140      IF(IW,NE,1) GO TO 95
141      WRITE(6,48)
142      48 FORMAT(1H ,5X,'ITERATION FOR RJ=RW AT RHW FROM FAP')
143      RW1=RW
144      SC=S*DS=((RW1+PO(2))/(P3(2)+PO(2))-1.)
145      RWC=RW*SC*(EITAM+EITAJ)*COS(P3(4))/SIGI
146      IF(ABS(RWC-RW1),LE,0.001) GO TO 98
147      RW1=RWC
148      GO TO 97
149      98 PMB(1,2,I)=PMB(2,2,I-1)+(PMB(1,2,I)-PMR(2,2,I-1))*
1           (RWC-PO(2))/(P3(2)+PO(2))
150      1  R=PMB(1,2,I)
151      RN=ABS(1./SIN(RETAA))
152      THET=ASIN(R/RN)
153      PMB(1,4,I)=THET
154      PMB(1,1,I)=RN*(COS(THET)*COS(BETA))
155      S=S*DS
156      IF(ITER,GE,30) GO TO 99
157      ITER=ITER+1
158      A2=1,
159      GO TO 500
160      99 IW=20
161      RETURN
C
C***   NO FURTHER MOC CALCULATION IS PROVIDED AT THE MOMENT
C
162      118 WRITE(6,602)
163      602 FORMAT(1H ,5X,'FURTHER MOC CALCULATION IS REQUIRED, ADD PROGRAM! ')
164      IW=20
165      RETURN
C
C***   FAILURE PRINT OUT
C
166      790 PP3=EMACHF(P3(3),G)
167      PP4=57.2957795eP3(4)
168      WRITE(6,3010) P3(1),P3(2),PP3,PP4
169      3010 FORMAT(1H ,5X,'JET BOUNDARY WOULD NOT REACH TO THE SHROUD')
1           1H ,5F13.5)
170      IW=10
171      RETURN
C***   MOC UNIT PROCESS BREAK DOWN
172      800 WRITE(6,3020)
173      3020 FORMAT(1H ,5X,'*MOC UNIT PROCESS BREAK DOWN')
174      IW=20
175      RETURN
176      END

```

```

1      C***** DIVIDING STREAMLINE SUBROUTINE ****
2      SUBROUTINE DVS(C2A,FAIJ,EITA,EITAM,IW)
C
3      FAI(A)=0.5*(1.+2.*SPEQ05(1,41421356*A))
C
4      HITA=4.0
5      CALL EINT1(C2A,HITA,RI1)
6      CALL EINT2(C2A,HITA,RI2)
7      EITA=0.2
8      RI12=RI1+RI2
9      10 CALL EINT1(C2A,EITA,EI1)
10     FITAJ=RI12-EI1
11     HITAEITA=FITAJ/FINT1(EITA)
12     IF(ABS(BITA-EITA),LE,0.0001) GO TO 20
13     EITA=BITA
14     GO TO 10
15     20 EITA=BITA
16     FAIJ=FAI(EITA)
17     EITAM=BITA-(1.-C2A**2)*RI2
18     IF(IW,NE,1) GO TO 30
19     WRITE(6,55) C2A,FAIJ,EITA,EITAM
20     55 FORMAT(1H ,5X,'DIVIDING STREAMLINE'
2           1       6X,'C2A='F8.5,5X,'FAIJ='F8.5,5X5HITAJ=F8.5,
2           2       5X5HITAM=F8.5//)
20     30 RETURN
21     END

```

```

C*** SUBROUTINE EINT1
1  SUBROUTINE EINT1(C2A,EITA,EI1)
2  COMMON W
3  EXTERNAL FINT1
4  W=C2A
5  AN=(EITA+4.0)*10+1
6  NN=IFIX(AN)
7  N=NN*4
8  CALL INTE01(-4.0,EITA,N,S,FINT1)
9  EI1=S
10 RETURN
11 END

C*** SUBROUTINE EINT2
1  SUBROUTINE EINT2(C2A,EITA,EI2)
2  COMMON W
3  EXTERNAL FINT2
4  W=C2A
5  AN=(EITA+4.0)*10+1
6  NN=IFIX(AN)
7  N=NN*4
8  CALL INTE01(-4.0,EITA,N,S,FINT2)
9  EI2=S
10 RETURN
11 END

FUNCTION FINT1(X)
1  FAI(A)=0.5*(1.+2.*SPEQ05(1.41421356*A))
2  COMMON W
3  FINT1=FAI(X)/(1.+(W*FAI(X))**2)
4  RETURN
5  END

FUNCTION FINT2(X)
1  FAI(A)=0.5*(1.+2.*SPEQ05(1.41421356*A))
2  COMMON W
3  FINT2= FAI(X)**2/(1.+(W*FAI(X))**2)
4  RETURN
5  END

```

航空宇宙技術研究所資料313号

昭和51年9月発行

発行所 航空宇宙技術研究所
東京都調布市深大寺町1880
電話武藏野三鷹(0422)47-5911(大代表) 182

印刷所 株式会社 東京プレス
東京都板橋区桜川 2~27~12

Printed in Japan

This document is provided by JAXA.